

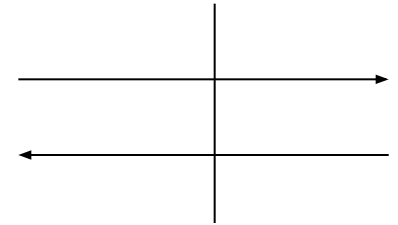
Ионометрия

Потенциометрия

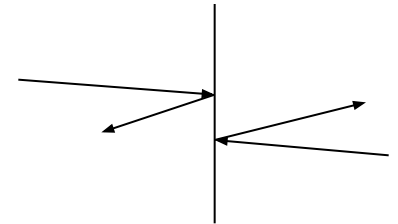
$$E = f(t)$$

Граница раздела фаз

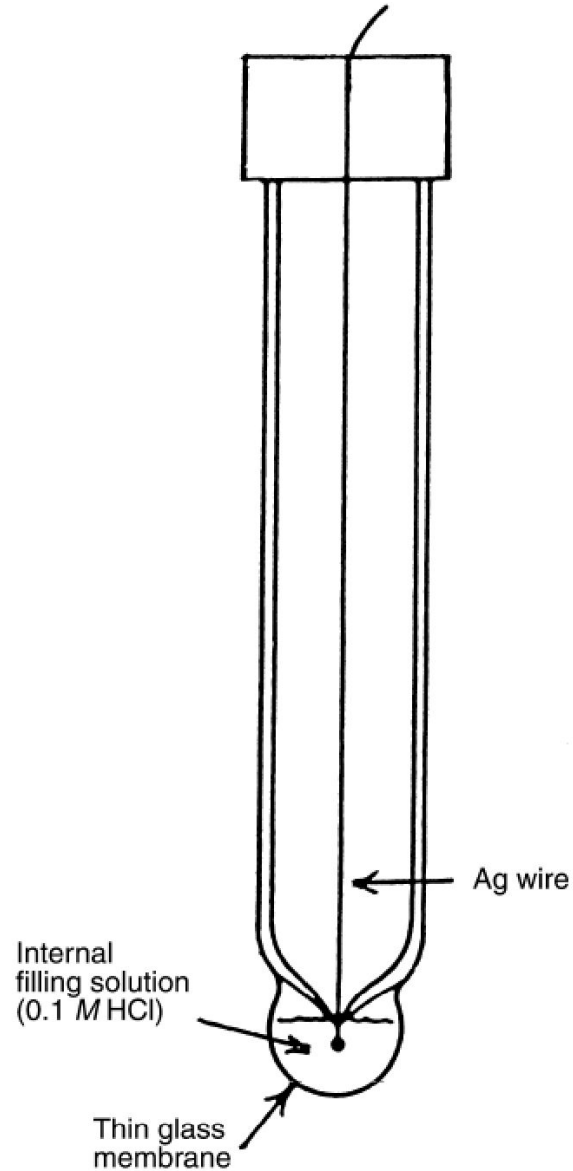
Неполяризуемая



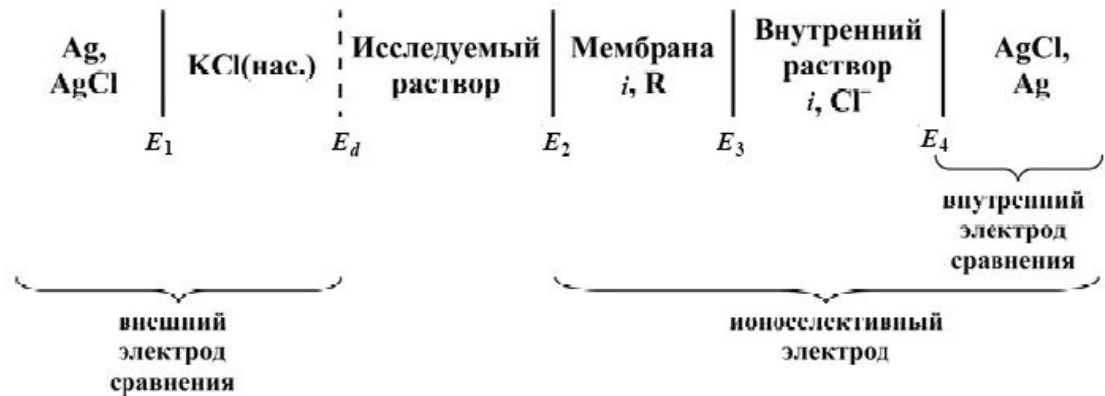
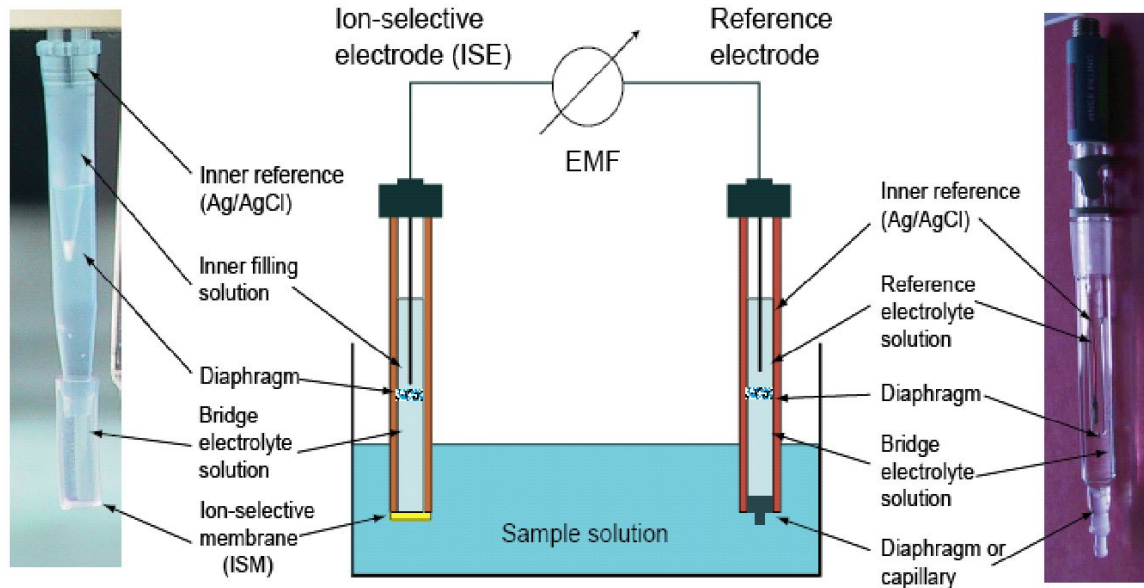
Поляризуемая



Стеклянный рН электрод



Измерительная ячейка



Условия измерения:

1. $I=0$ А
2. Входное сопротивление $\sim 10^{12}-10^{14}$ Ом
3. Стабильность работы электрода сравнения

Мембранные электроды

Жидкие мембраны → пластифицированные мембраны:

- Полимер (ПВХ)

...матрица, основа

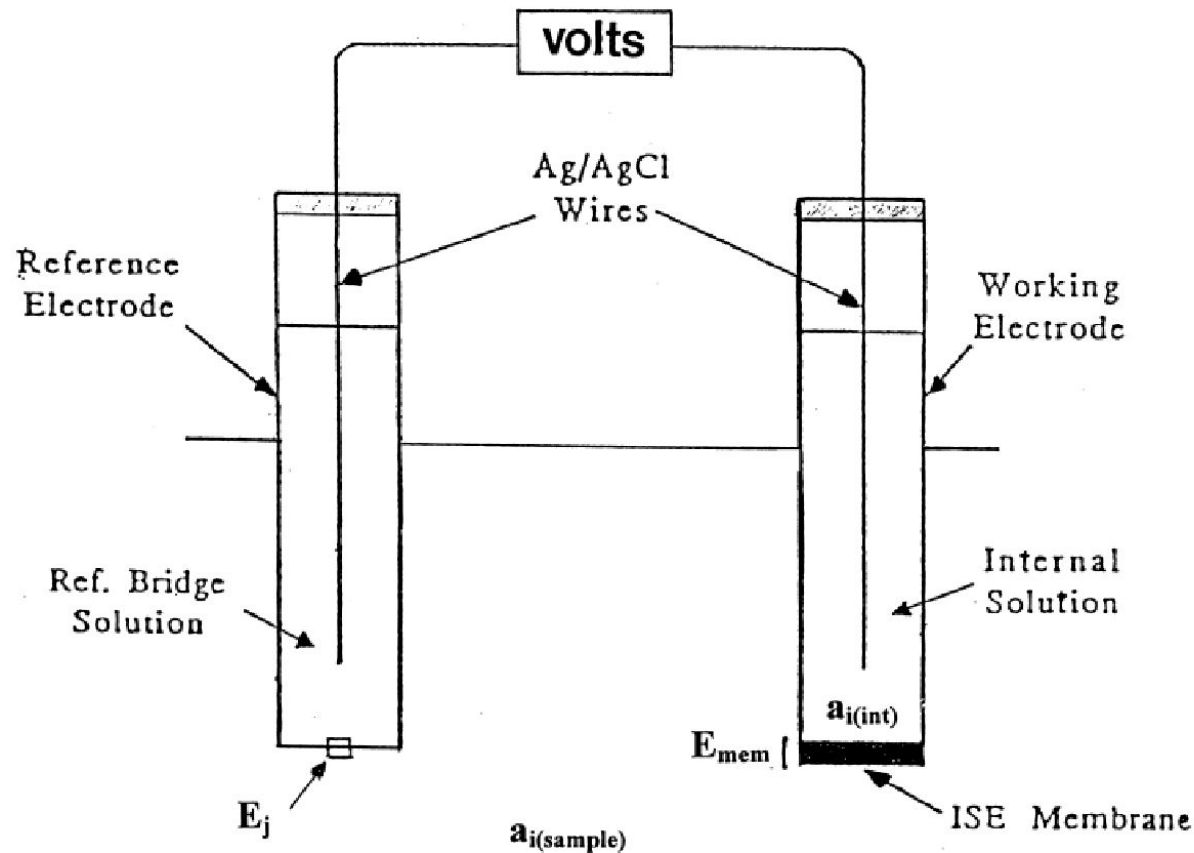
- Пластификатор (о-НФОЭ)

...барьер для ионов

- Переносчик

...транспорт - селективность

Мембранный электрод



$$E = -\frac{\Delta G}{nF} = \frac{RT}{nF} \ln \left(\frac{a_{i, \text{sample}}}{a_{i, \text{int.}} \cdot 7.50 \ln} \right)$$

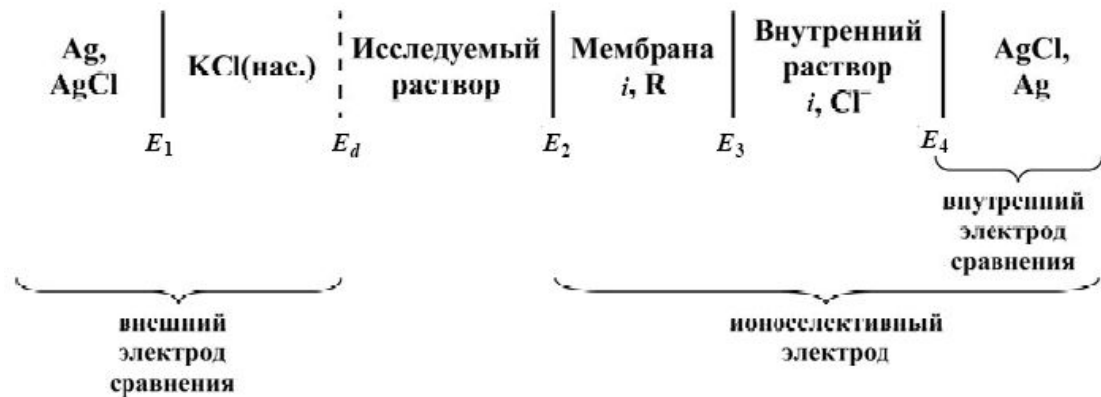
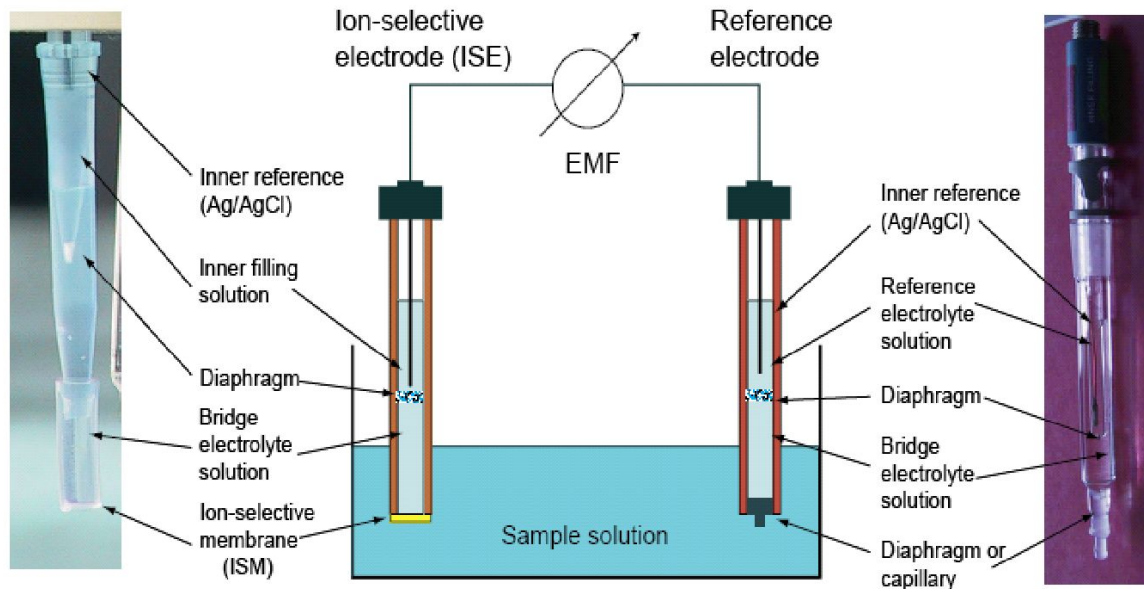
Межфазный потенциал

$$\bar{\mu}_i^\alpha = \mu_i^\alpha + z_i F \phi^\alpha$$

$$E = E_0 + \frac{RT}{zF} \ln \left(a_i + \sum_j k_{ij} a_j^{z_i/z_j} \right)$$

Nikolsky-Eisenman

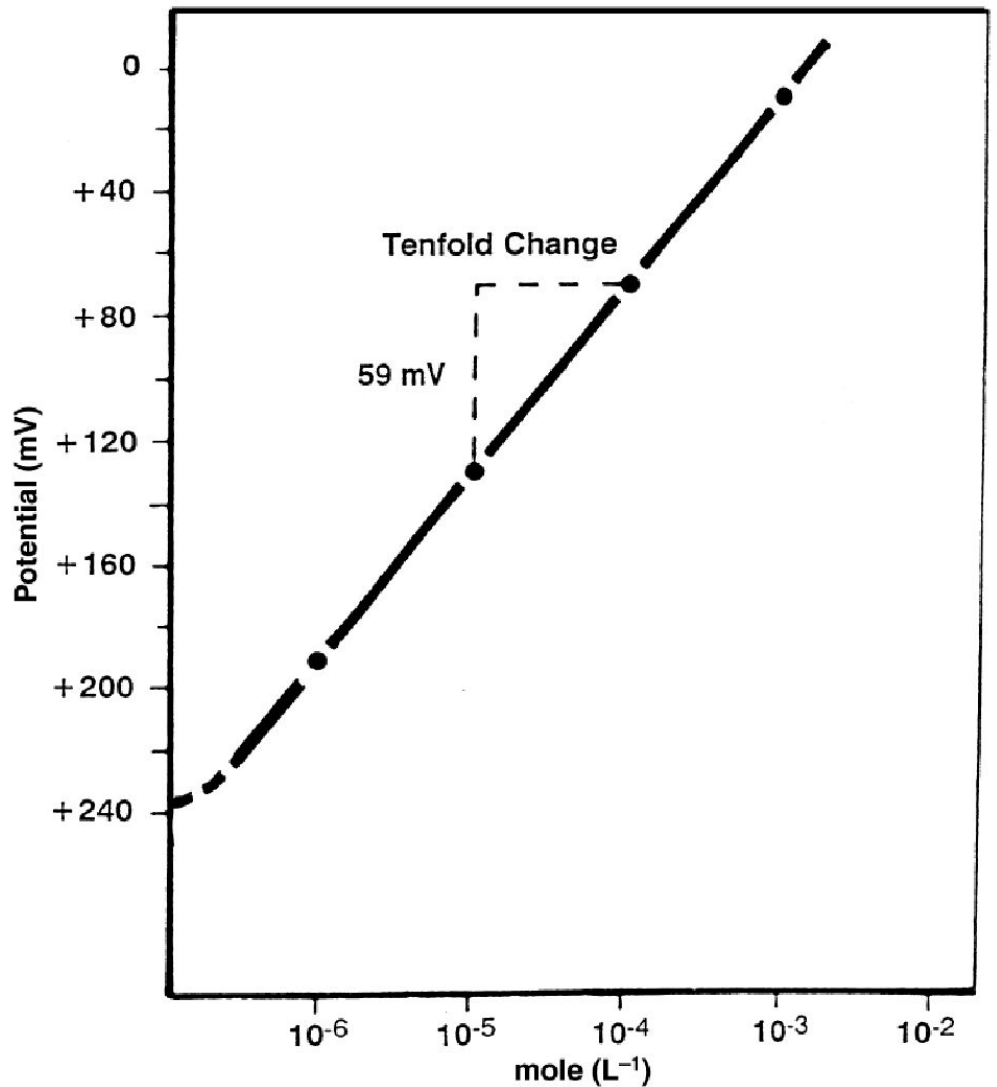
Ионселективный электрод (ИСЭ)



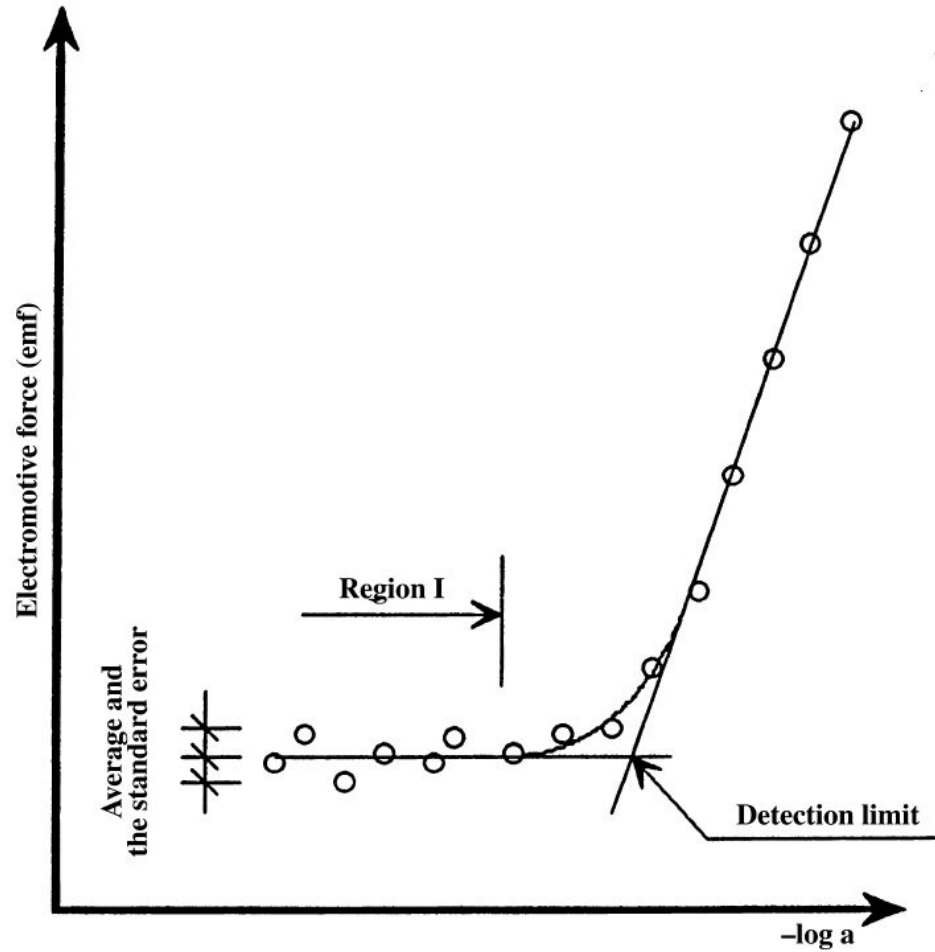
Условия измерения:

1. $I=0$ А
2. Входное сопротивление $\sim 10^{12}-10^{14}$ Ом
3. Стабильность работы электрода сравнения

Калибровочный график ИСЭ



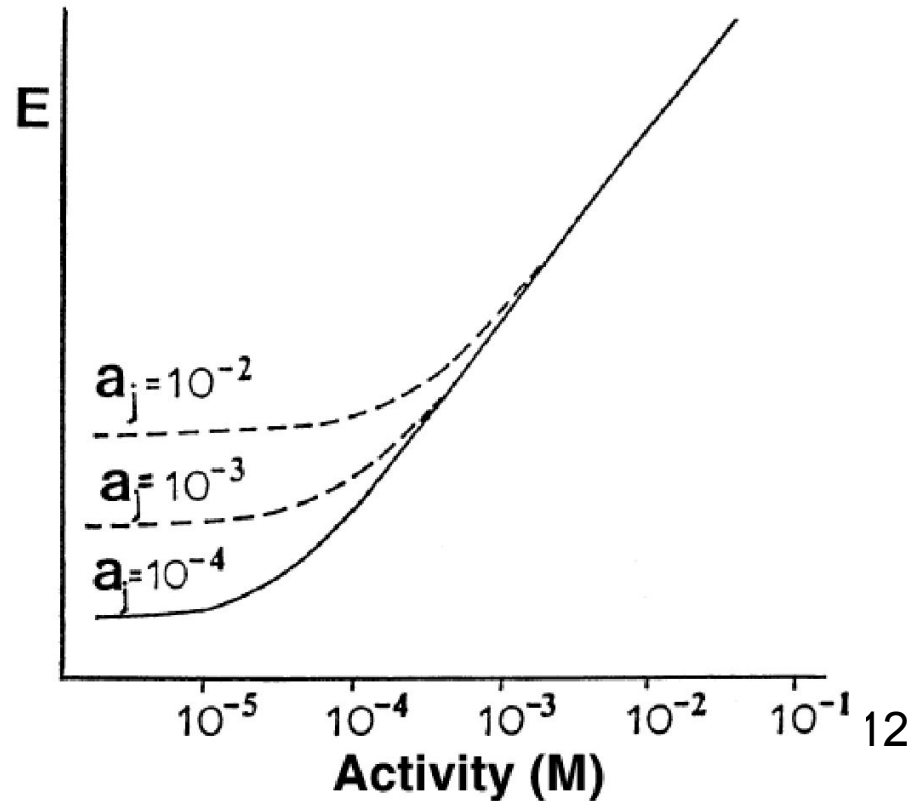
Предел обнаружения ИСЭ



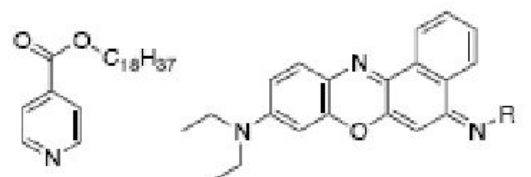
Предел обнаружения ИСЭ

в присутствии мешающих ионов

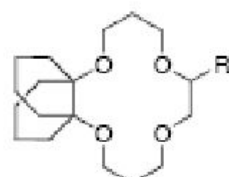
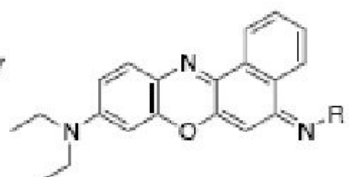
$$a_{i,\min} = k_{ij} a_j^{Z_i / Z_j}$$



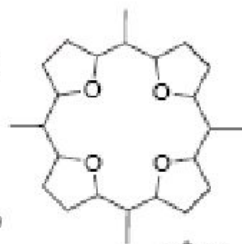
Ионофоры на катионы



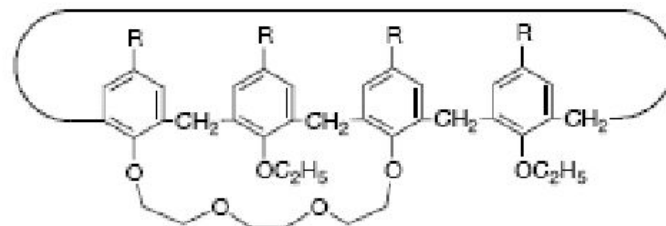
H⁺-7 (ETH 1778) H⁺-10 (ETH 5294): R=COC₁₇H₃₅



Li⁺-21: R = C₁₄H₂₉

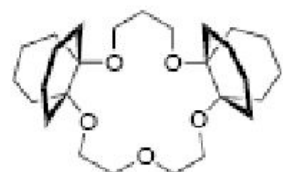


Li⁺-29

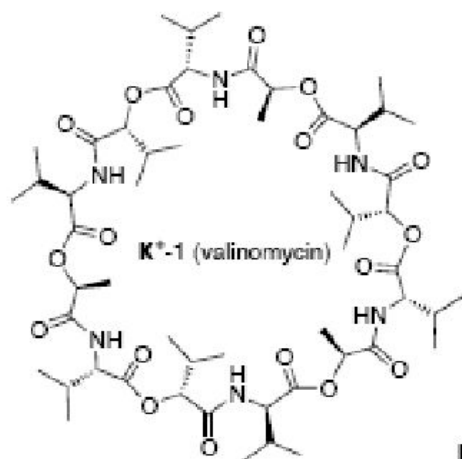


Na⁺-33: R = H (partial cone conformation)

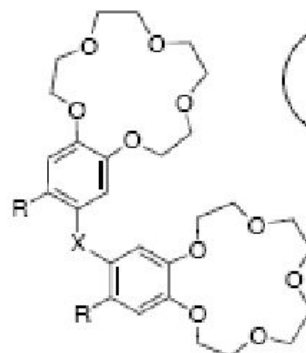
Na⁺-34: R = C(CH₃)₃ (cone conformation)



Na⁺-15

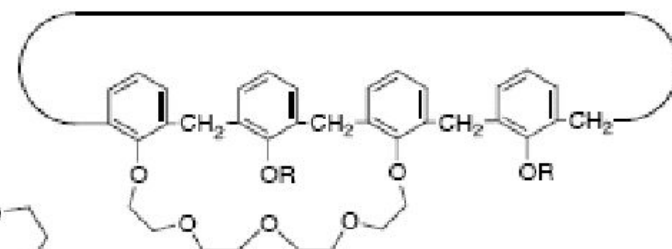


K⁺-1 (valinomycin)

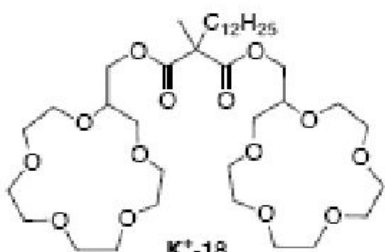


K⁺-17: X = -CH₂OCO(CH₂)₅COOCH₂, R = H

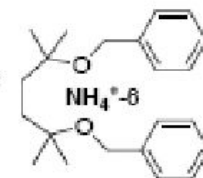
K⁺-25 (BME 44): X = -NHCOOCH₂C(CH₃)(C₁₂H₂₅)CH₂OCONH-, R = NO₂



K⁺-33: R = CH(CH₃)₂ (alternate conformation)



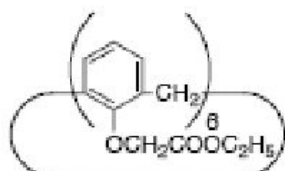
K⁺-18



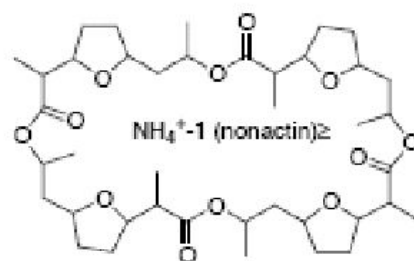
NH₄⁺-6



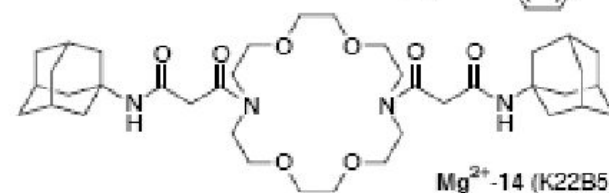
Rb⁺-2



Ce⁺-4

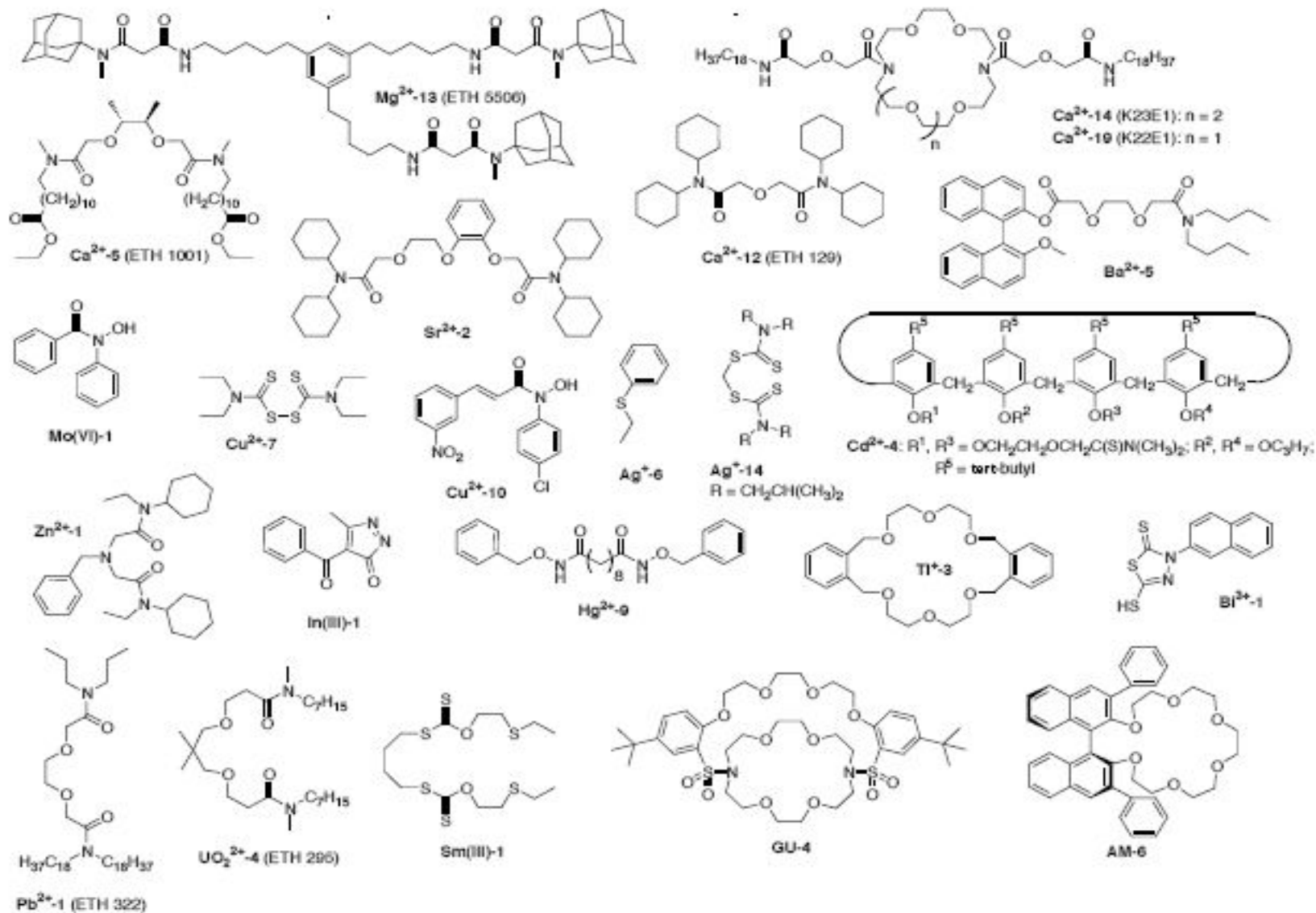


NH₄⁺-1 (nonactin)

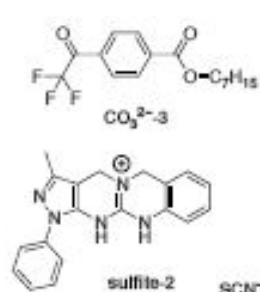


Mg²⁺-14 (K22B5)

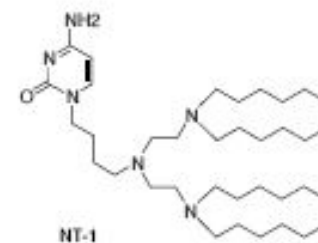
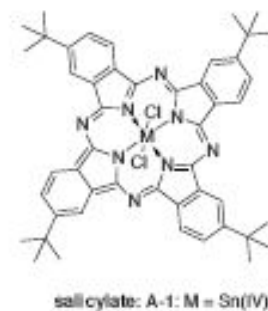
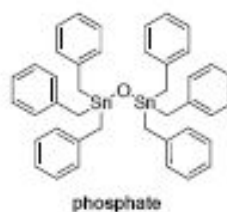
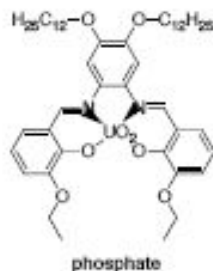
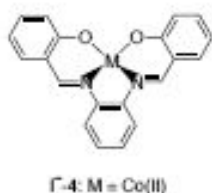
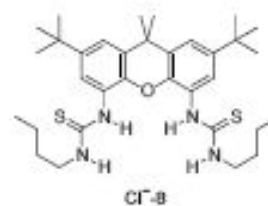
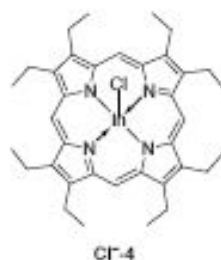
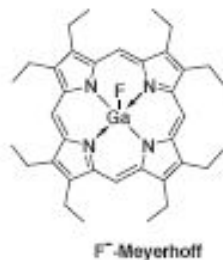
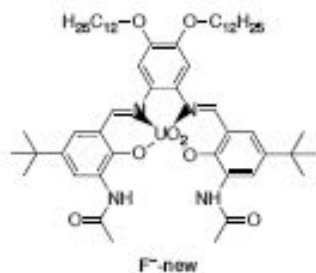
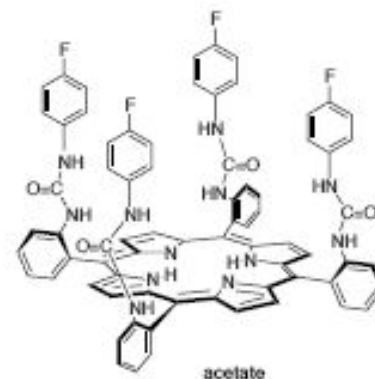
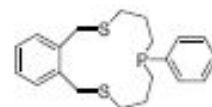
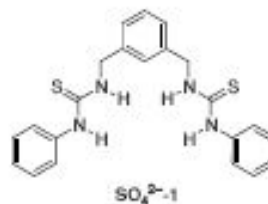
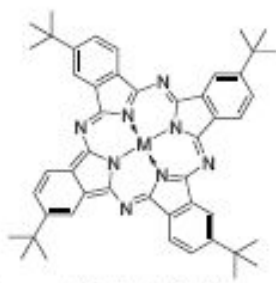
Ионофоры на катионы (продолжение)



Ионофоры на анионы



SCN⁻-6: M = Mn(III); R = COOC₂H₅; R', R'' = H; X = Cl⁻
 SCN⁻-10: M = Mn(III); R, R', R'' = C₆H₅; X = Cl⁻
 SCN⁻-11: M = Co(III); R' = NHC(O)C(CH₃)₂; R, R'' = H; X = ClO₄⁻

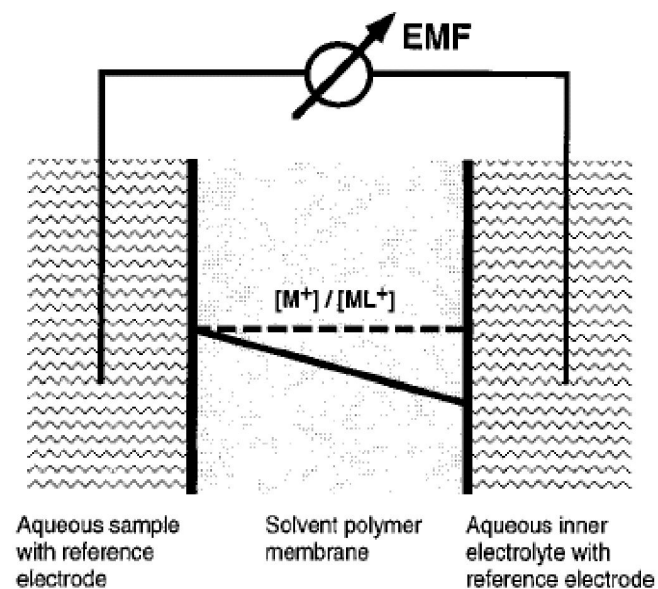


Характеристики ИСЭ

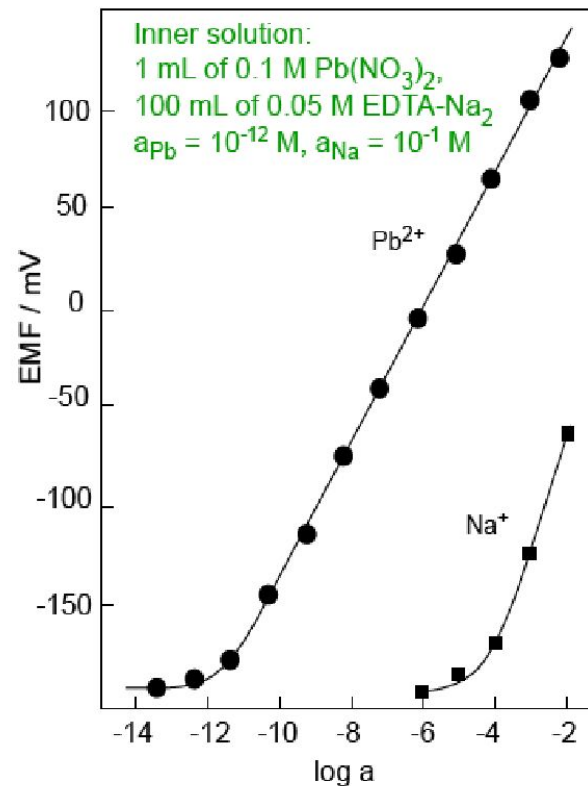
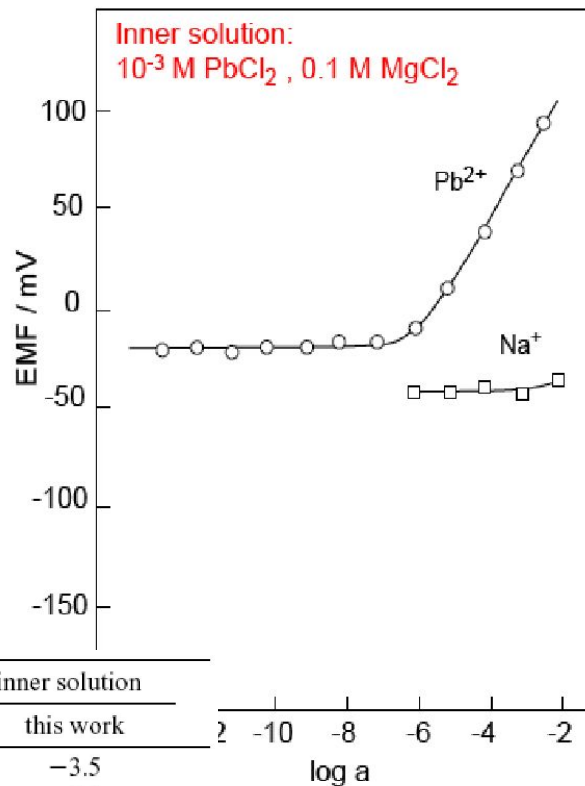
- **Тангенс углового коэффициента электродной функции**
«Slope» $\equiv S = 2,303RT/zF = 59.2 \text{ мВ/ра}$ (для однозарядных ионов; $z=1$)
- **Диапазон линейности**
...обычно 10^{-1} - 10^{-5} М
- **Предел обнаружения**
...обычно 10^{-6} - 10^{-7} М
- **Время отклика**
...несколько секунд – минут
- **Обратимость отклика**
...возможен т.н. эффект «памяти»
- **Селективность**
...хорошо, если не мешают 10^2 - 10^4 количества посторонних ионов
- **Рабочий диапазон рН**
...определяется природой мембранных компонентов и/или определяемых соединений

Понижение предела обнаружения ИСЭ

- понижение активности иона во внутреннем растворе
- создание трансмембранного градиента потенциала (иммобилизация ионофора)



Изменение состава внутреннего раствора:



log $K^{\text{pot}}_{\text{PbM}}$ for Pb^{2+} ISE with inner solution

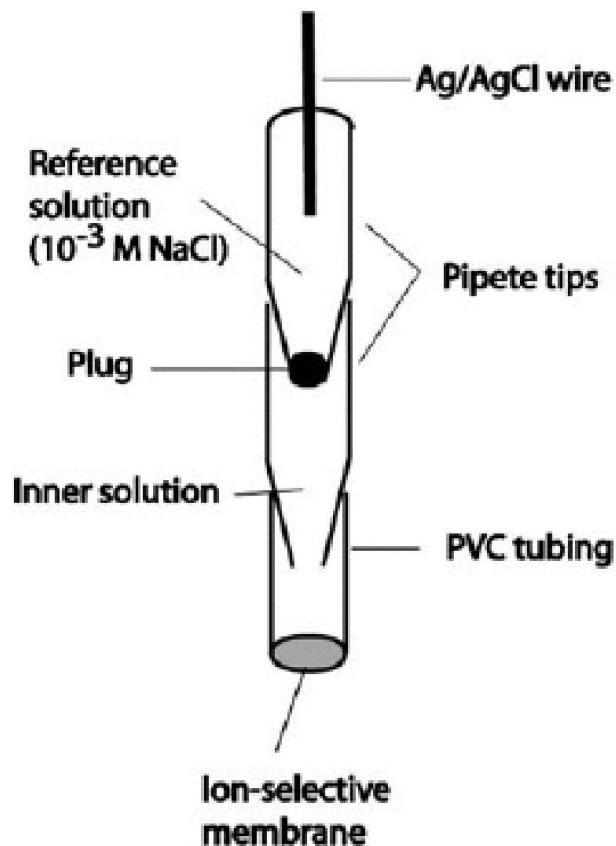
ion M	conventional	this work
H^+	-2.2	-3.5
Li^+	-2.7	-5.1
Na^+	-2.2	-4.7
K^+	-2.2	-4.1
NH_4^+	-2.5	-4.1
Mg^{2+}	-3.6	-9.4
Ca^{2+}	-4.0	-8.6
Cd^{2+}	0.9	0.4
Sr^{2+}	-4.2	-6.7
Ba^{2+}	-4.1	-6.0
Mn^{2+}	-4.1	-5.8
Co^{2+}	-4.3	-6.3
Ni^{2+}	-4.2	-5.9
Cu^{2+}	-0.5	-0.4
Zn^{2+}	-3.7	-5.0

T. Sokalski, A. Ceresa, T. Zwickl, E. Pretsch, J. Am. Chem. Soc. 1997, 46, 11347.

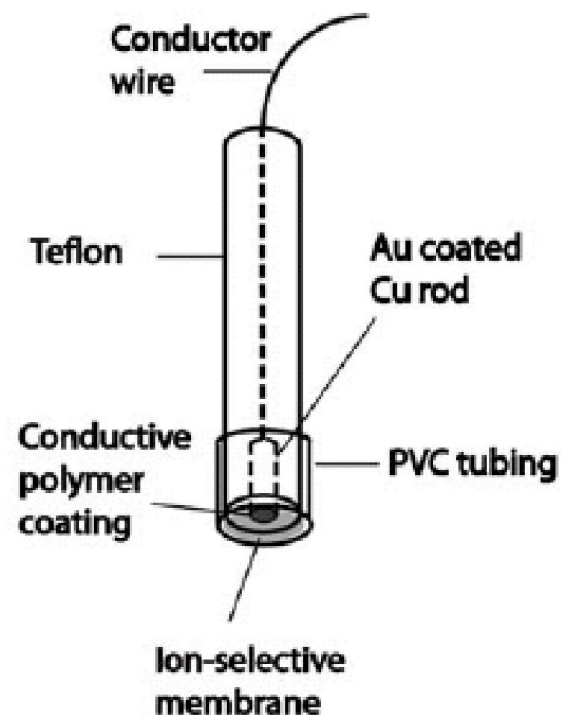
Примеры разработанных ИСЭ

Analyte ion	Det. limit [M]	Selected selectivity coefficients $\log K_{ij}^{\text{pot}}$			
Na ⁺	3×10^{-8}	H ⁺ -4.8	K ⁺ -2.7	Ca ²⁺ -6.0	
K ⁺	5×10^{-9}	Na ⁺ -4.2	Mg ²⁺ -7.6	Ca ²⁺ -6.9	
Cs ⁺	8×10^{-9}	Na ⁺ -4.7	K ⁺ -2.9	Mg ²⁺ -8.7	Ca ²⁺ -8.5
NH ₄ ⁺	2×10^{-8}				
Ca ²⁺	3×10^{-9} – 10^{-11}	H ⁺ -4.9	Na ⁺ -4.8	Mg ²⁺ -5.3	
Ag ⁺	1 – 2×10^{-9}	H ⁺ -10.2	Na ⁺ -10.3	Ca ²⁺ -11.3	
Pb ²⁺	10^{-9} – 6×10^{-11}	H ⁺ -5.6	Na ⁺ -5.6	Mg ²⁺ -13.8	
Cd ²⁺	10^{-10}	H ⁺ -6.7	Na ⁺ -8.4	Mg ²⁺ -13.4	
Cu ²⁺	10^{-8} – 10^{-9}	H ⁺ -0.7	Na ⁺ <-5.7	Mg ²⁺ -6.9	
Vitamin B1	10^{-8}				
ClO ₄ ⁻	2×10^{-8}	OH ⁻ -5.0	Cl ⁻ -4.9	NO ₃ ⁻ -3.1	
I ⁻	2×10^{-9}	OH ⁻ -1.7			

Внутреннее заполнение и твердый контакт



Liquid-contact electrode



Solid-contact electrode

Твердоконтактные ИСЭ (solid-contact ISE)

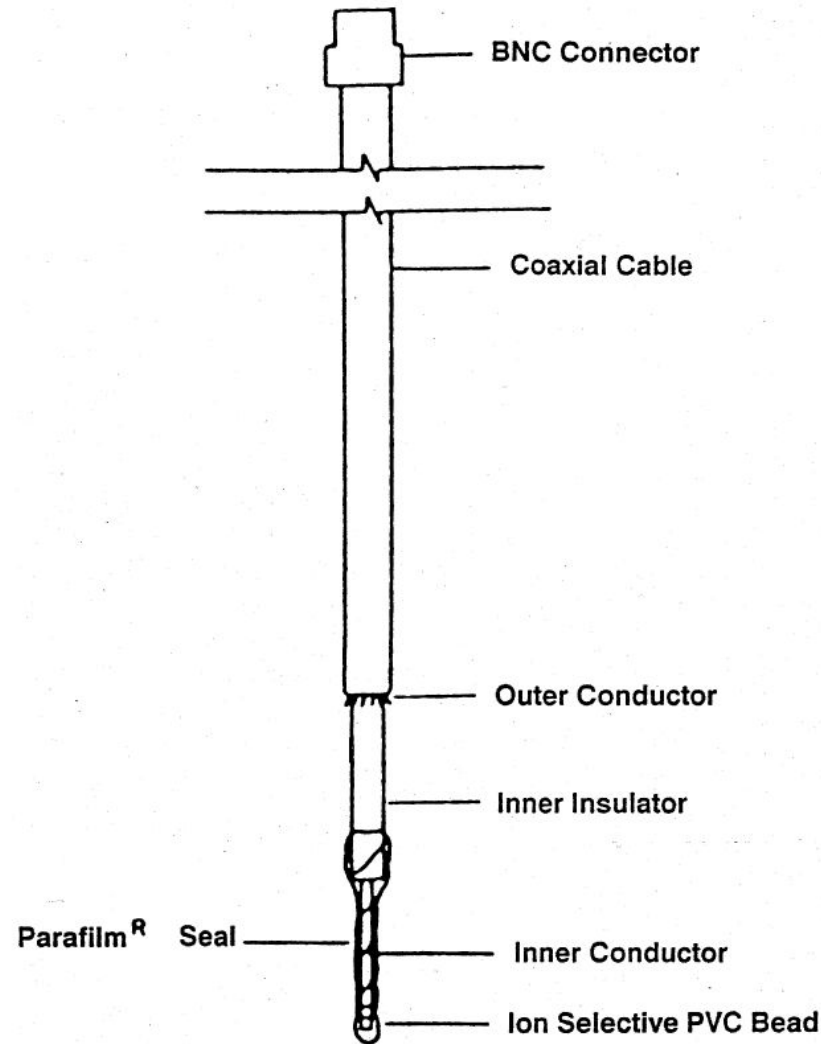
Твердотельные ИСЭ (all solid state ISE)

TABLE 5-1 Characteristics of Solid-State Crystalline Electrodes^a

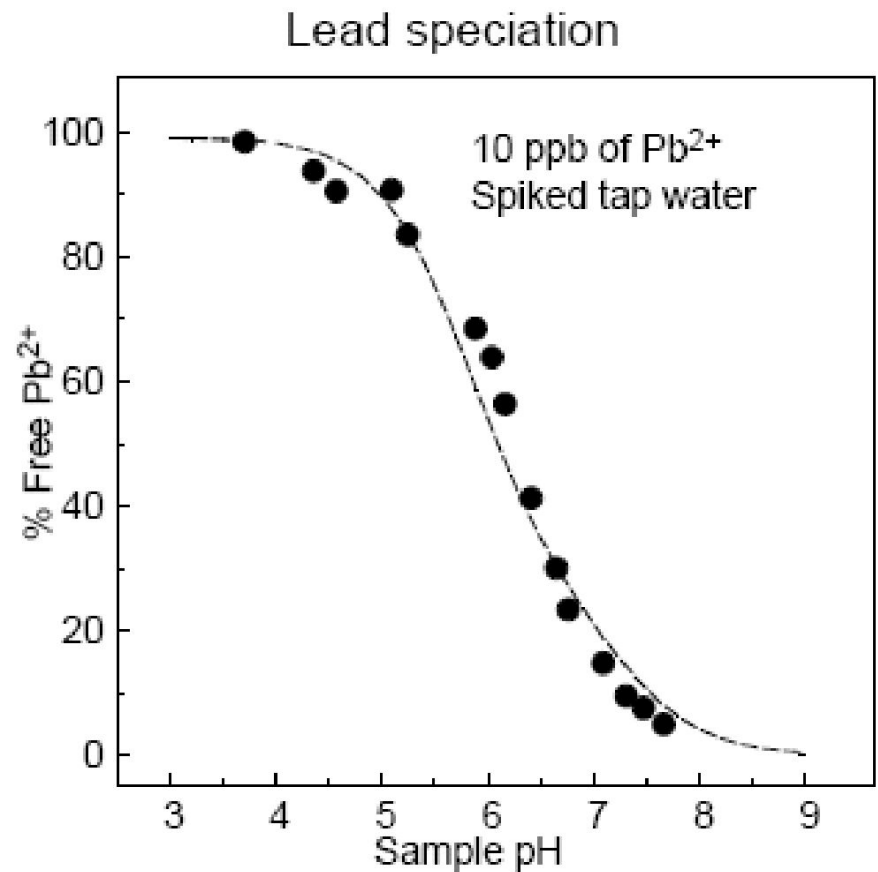
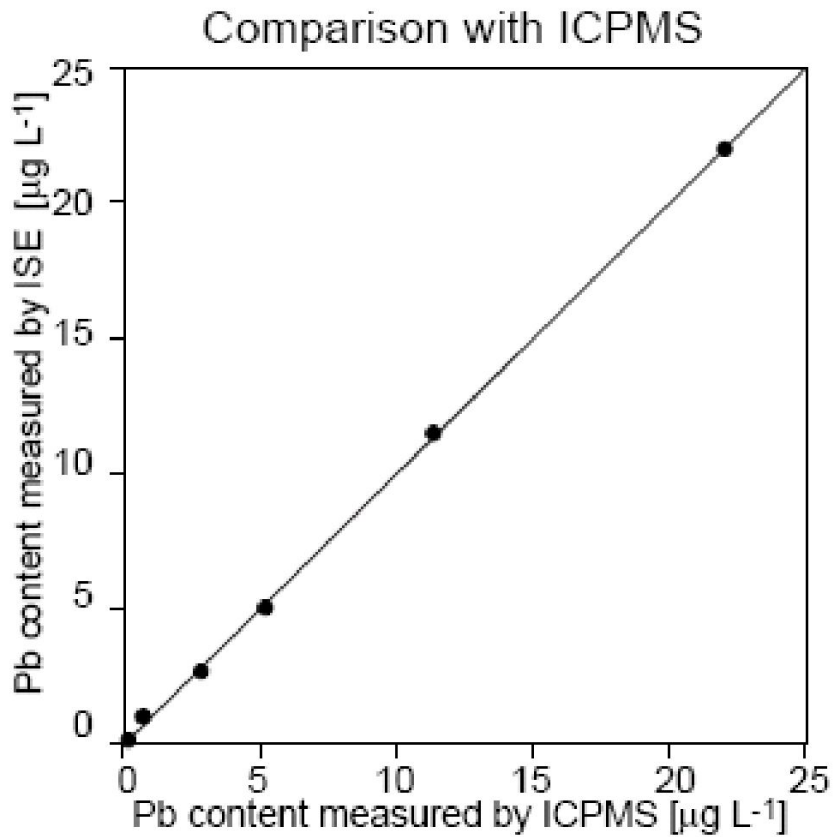
Analyte Ion	Concentration Range (M)	Major Interferences
Br ⁻	10 ⁰ to 5 × 10 ⁻⁶	CN ⁻ , I ⁻ , S ²⁻
Cd ²⁺	10 ⁻¹ to 1 × 10 ⁻⁷	Fe ²⁺ , Pb ²⁺ , Hg ²⁺ , Ag ⁺ , Cu ²⁺
Cl ⁻	10 ⁰ to 5 × 10 ⁻⁵	CN ⁻ , I ⁻ , Br ⁻ , S ²⁻
Cu ²⁺	10 ⁻¹ to 1 × 10 ⁻⁸	Hg ²⁺ , Ag ⁺ , Cd ²⁺
CN ⁻	10 ⁻² to 1 × 10 ⁻⁶	S ²⁻
F ⁻	Saturated to 1 × 10 ⁻⁶	OH ⁻
I ⁻	10 ⁰ to 5 × 10 ⁻⁸	
Pb ²⁺	10 ⁻¹ to 1 × 10 ⁻⁶	Hg ²⁺ , Ag ⁺ , Cu ²⁺
Ag ⁺ /S ²⁻	Ag ⁺ : 10 ⁰ to 1 × 10 ⁻⁷ S ²⁻ : -10 ⁰ to 1 × 10 ⁻⁷	Hg ²⁺
SCN ⁻	10 ⁰ to 1 × 10 ⁻⁶	I ⁻ , Br ⁻ , CN ⁻ , S ²⁻

ИСЭ типа «покрытая проволока» (coated wire ISE)

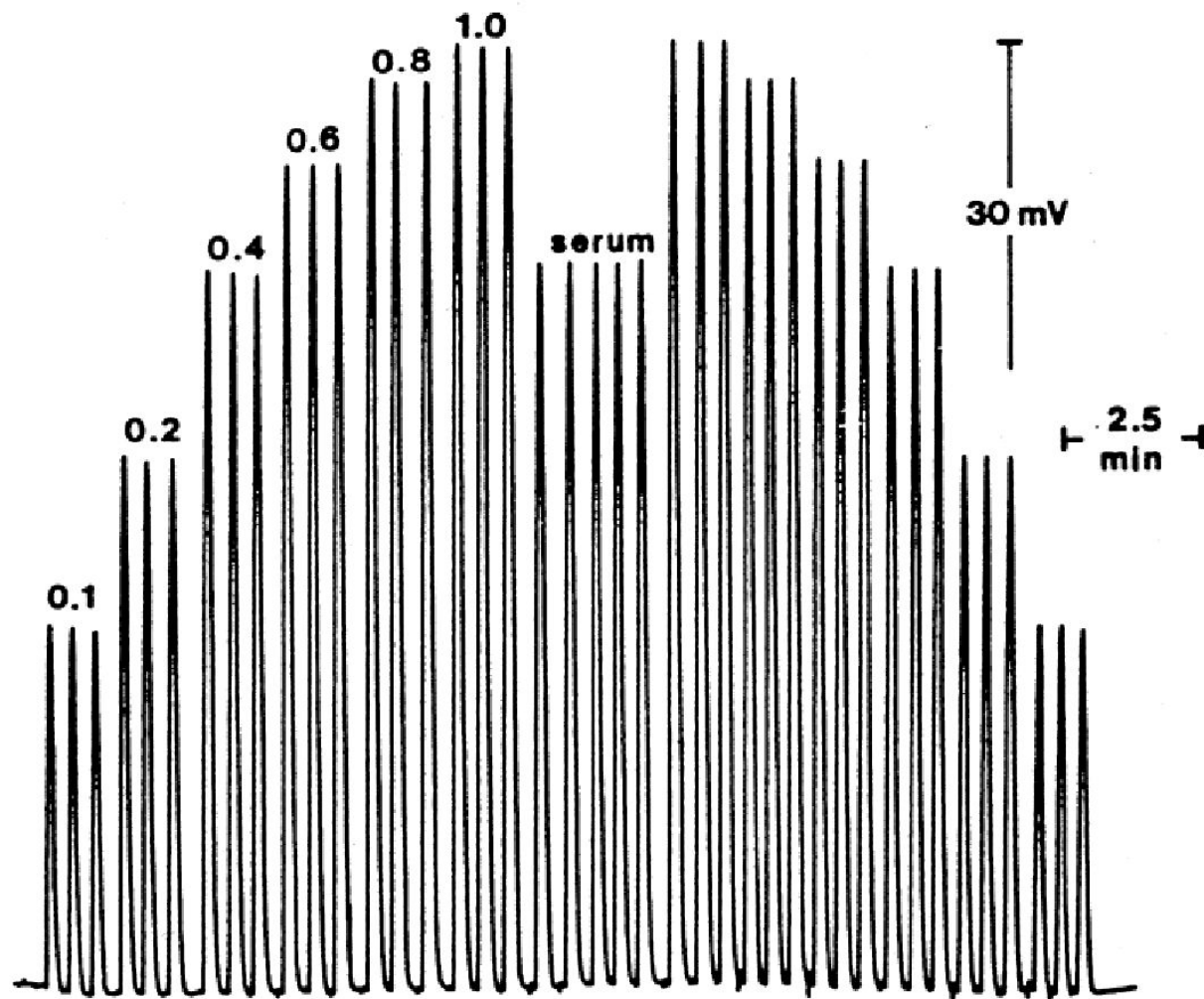
$10^{-1} \div 10^{-5} \text{ M}$



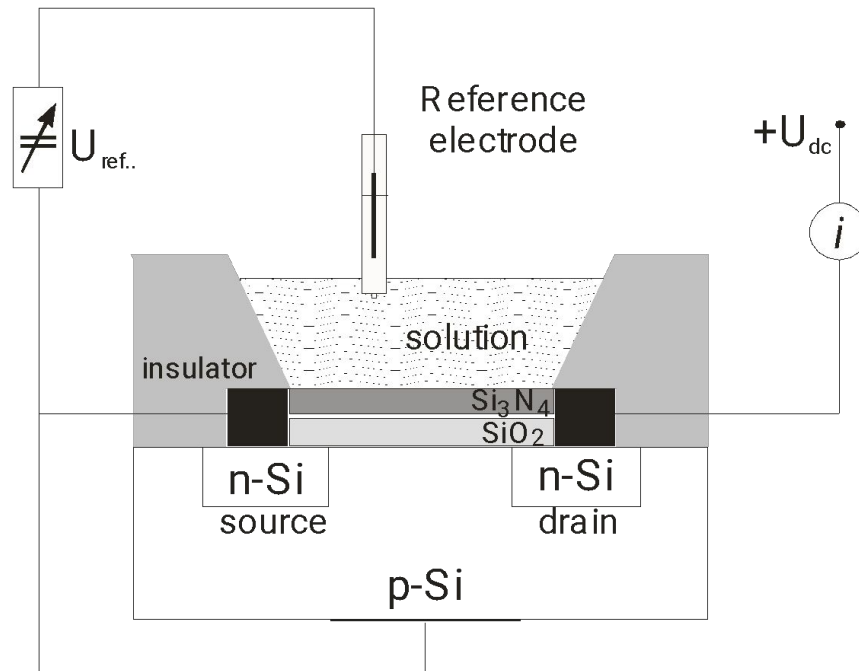
Определение свинца в питьевой воде – сравнение с ИСП-МС



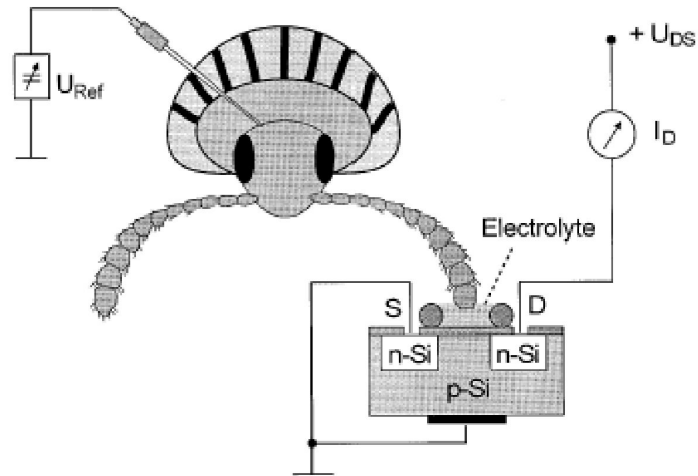
Калий в сыворотке крови (ПИА)



Field-effect transistor

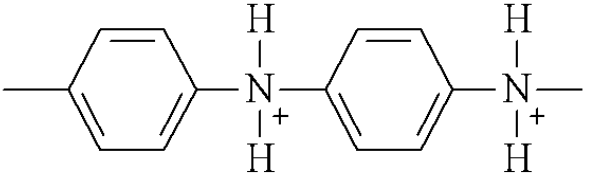
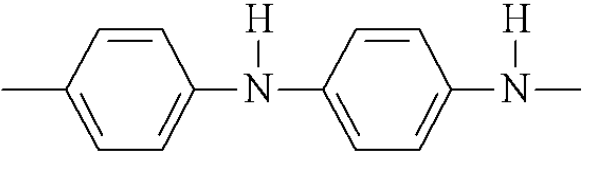
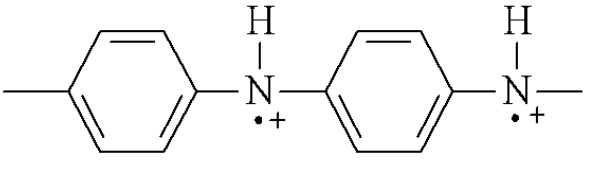
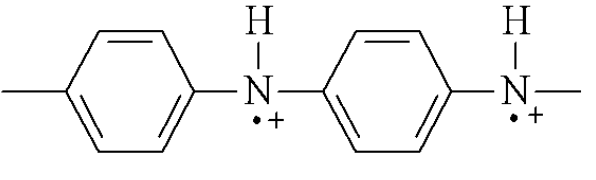
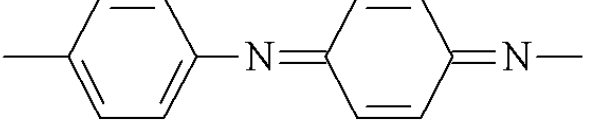
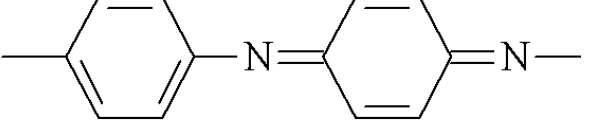


Field-effect transistor



Polyaniline

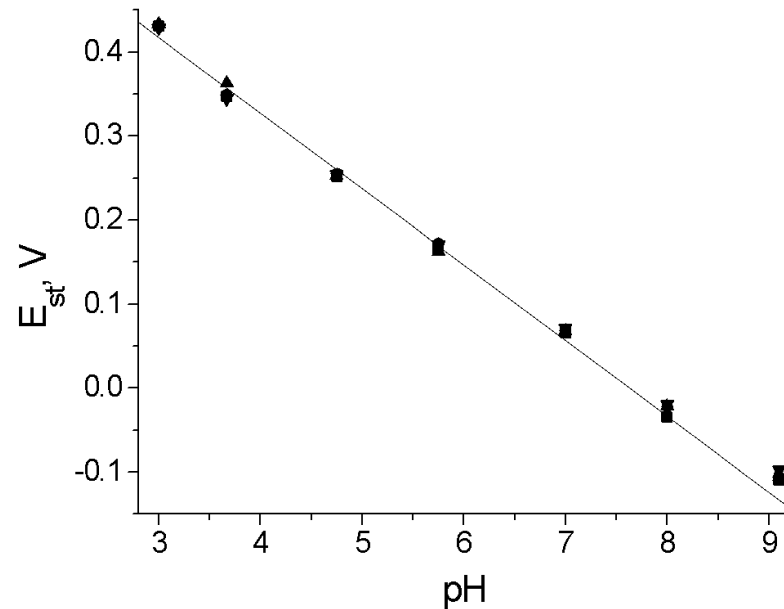
$$\frac{[H]^+}{e}$$

	pH < 1	pH > 1	pH < 1	pH > 1
leucoemeraldine			1	0
emeraldine			2	2
pernigraniline				

Polyaniline: *an advanced pH transducer*

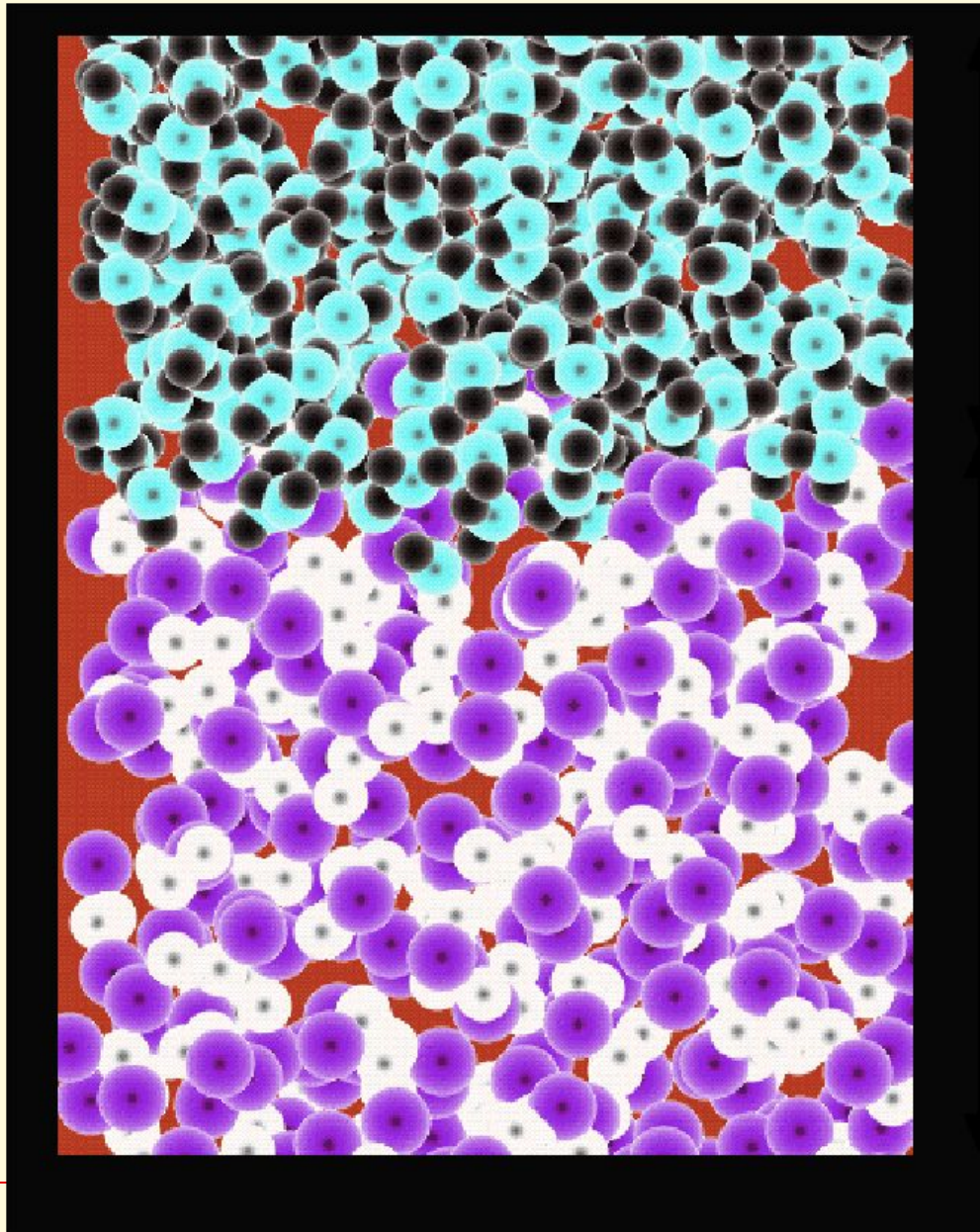
7 different electrodes:

$$\text{Tan}(\phi) \cong 90 \text{ mV/pH}$$



Граница раздела
несмешивающихся жидкостей
(liquid|liquid interface)

Water|1,2-DCE



H₂O

1,2-dichloroethane

Private communication:
Prof. I. Benjamin

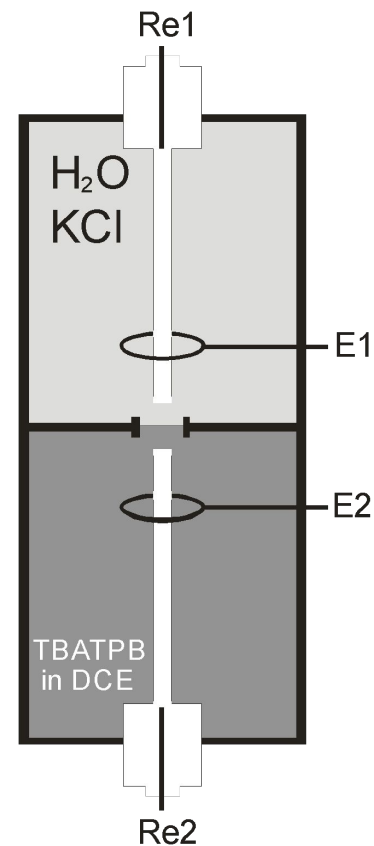
The lower the miscibility the larger the interfacial tension
and the thinner the interfacial thickness

Solvent	Solubility In water/M	Water Solubility/M	Interfacial Tension/ $\text{mN}\cdot\text{m}^{-1}$
Nitrobenzene	$8.5\cdot 10^{-2}$	0.11	25
1,2 dichloroethane	$1.5\cdot 10^{-2}$	0.2	27.5
Nitrophenyl-octyl ether	$2.0\cdot 10^{-6}$	$4.6\cdot 10^{-2}$	

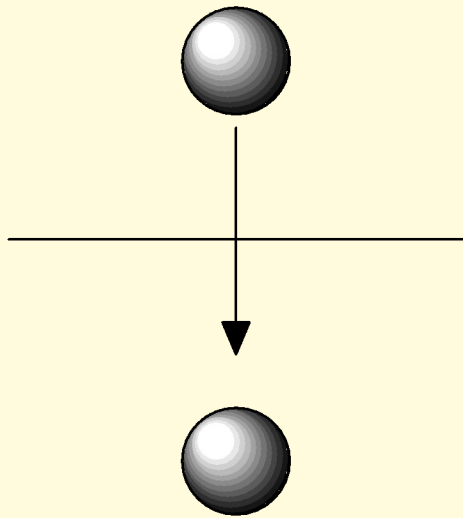
*

Voltammetry of electro-inactive ions

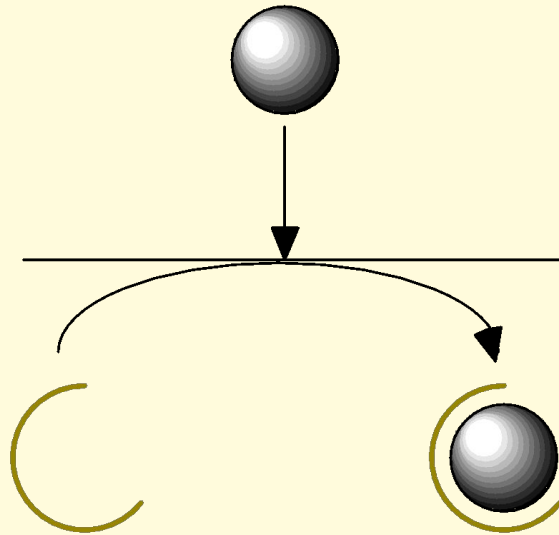
Polarizable
liquid|liquid
interface



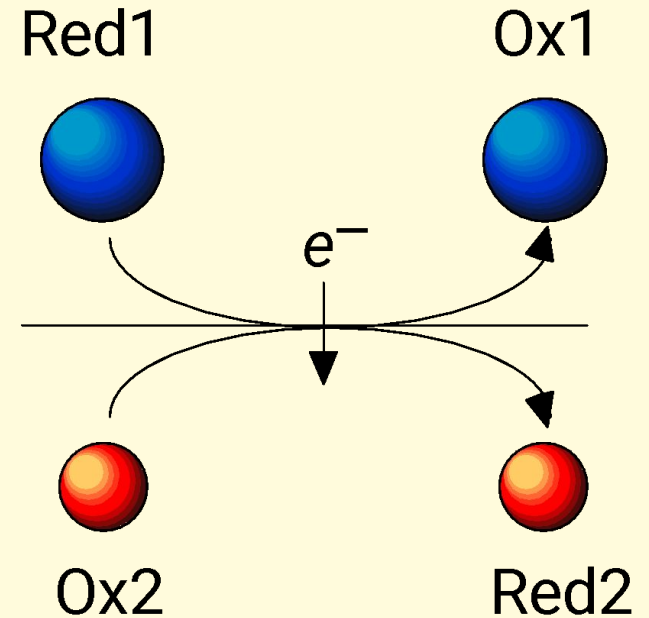
Charge transfer reactions at ITIES



Ion transfer



Assisted ion transfer
(Acid-Base reaction)



Electron transfer

Ion transfer



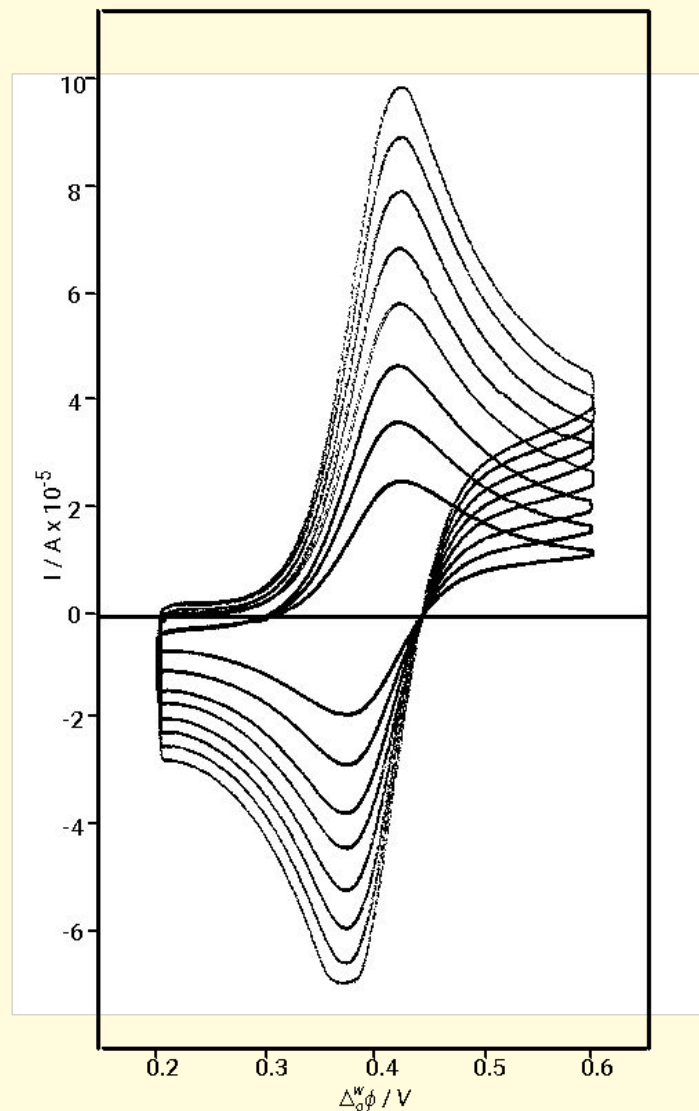
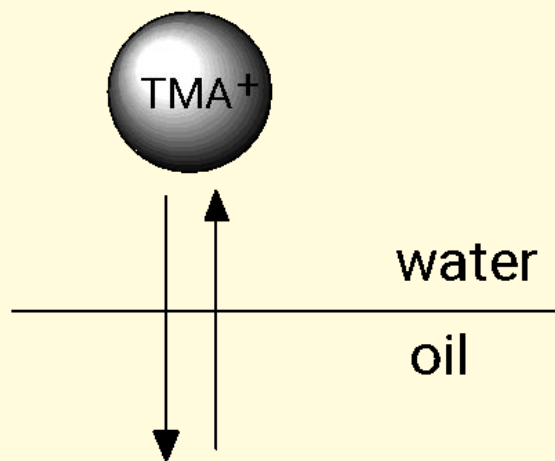
Equality of electrochemical potentials $\tilde{\mu}_i^W = \tilde{\mu}_i^O$

$$\tilde{\mu} = \mu^O + RT \ln a + zF\phi$$

Nernst equation for ion transfer

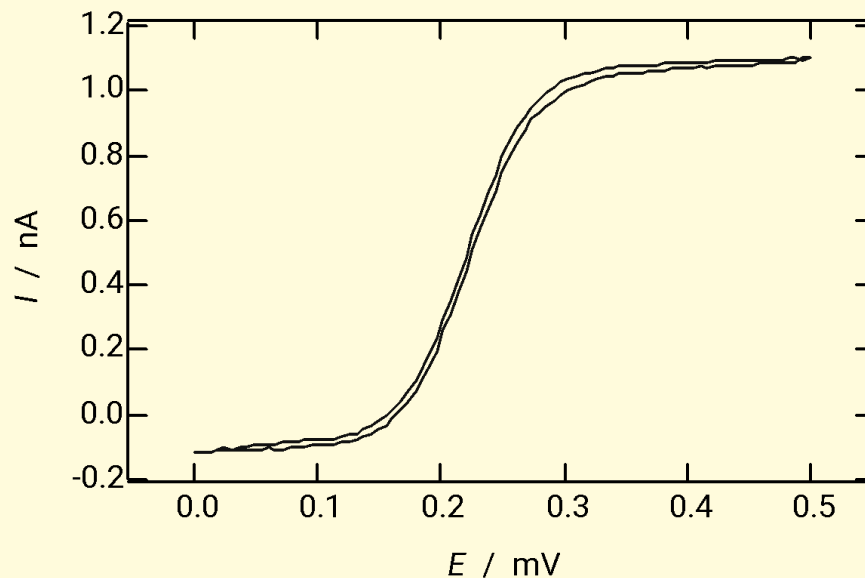
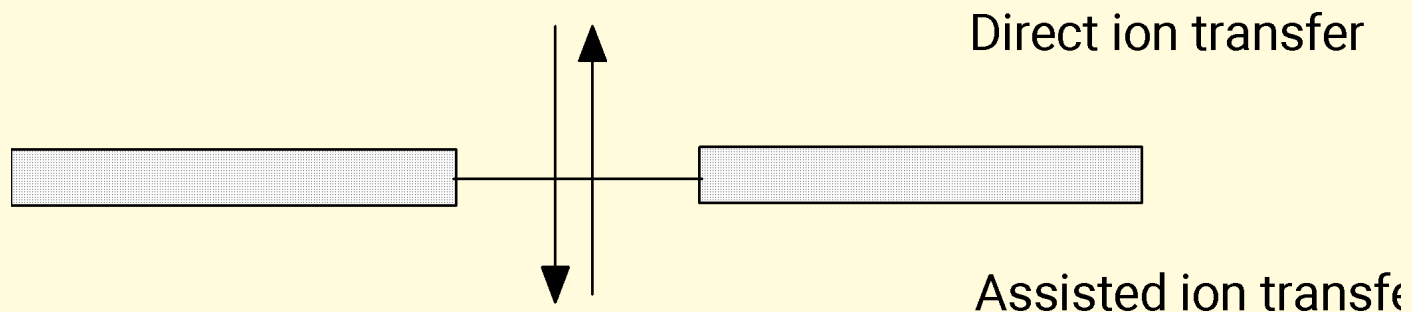
$$\Delta_o^W \phi = \Delta_o^W \phi_i^{O_1} + \frac{RT}{z_i F} \ln \left(\frac{c_i^O}{c_i^W} \right)$$

Transfer of tetramethylammonium



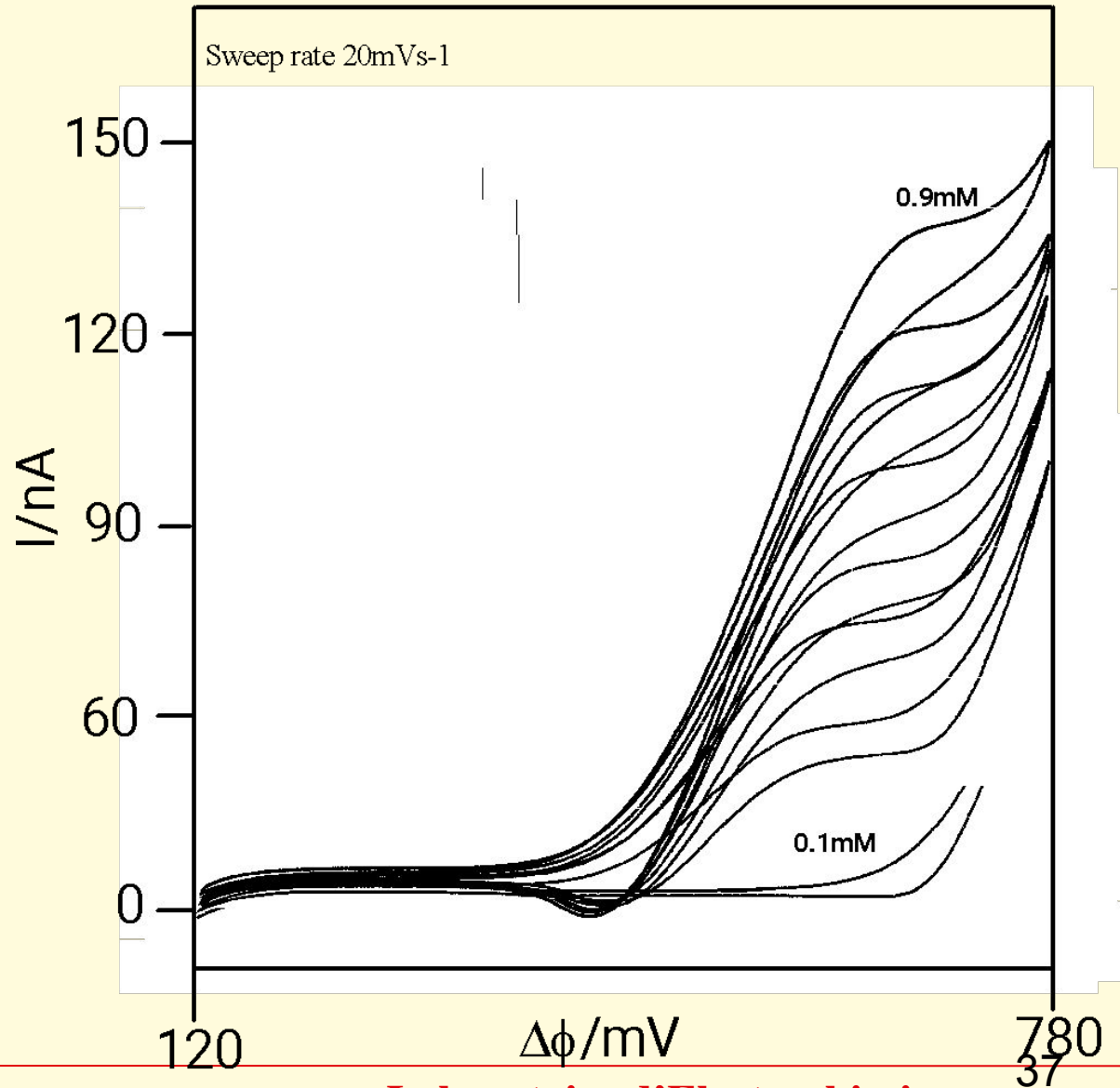
*

Microholes



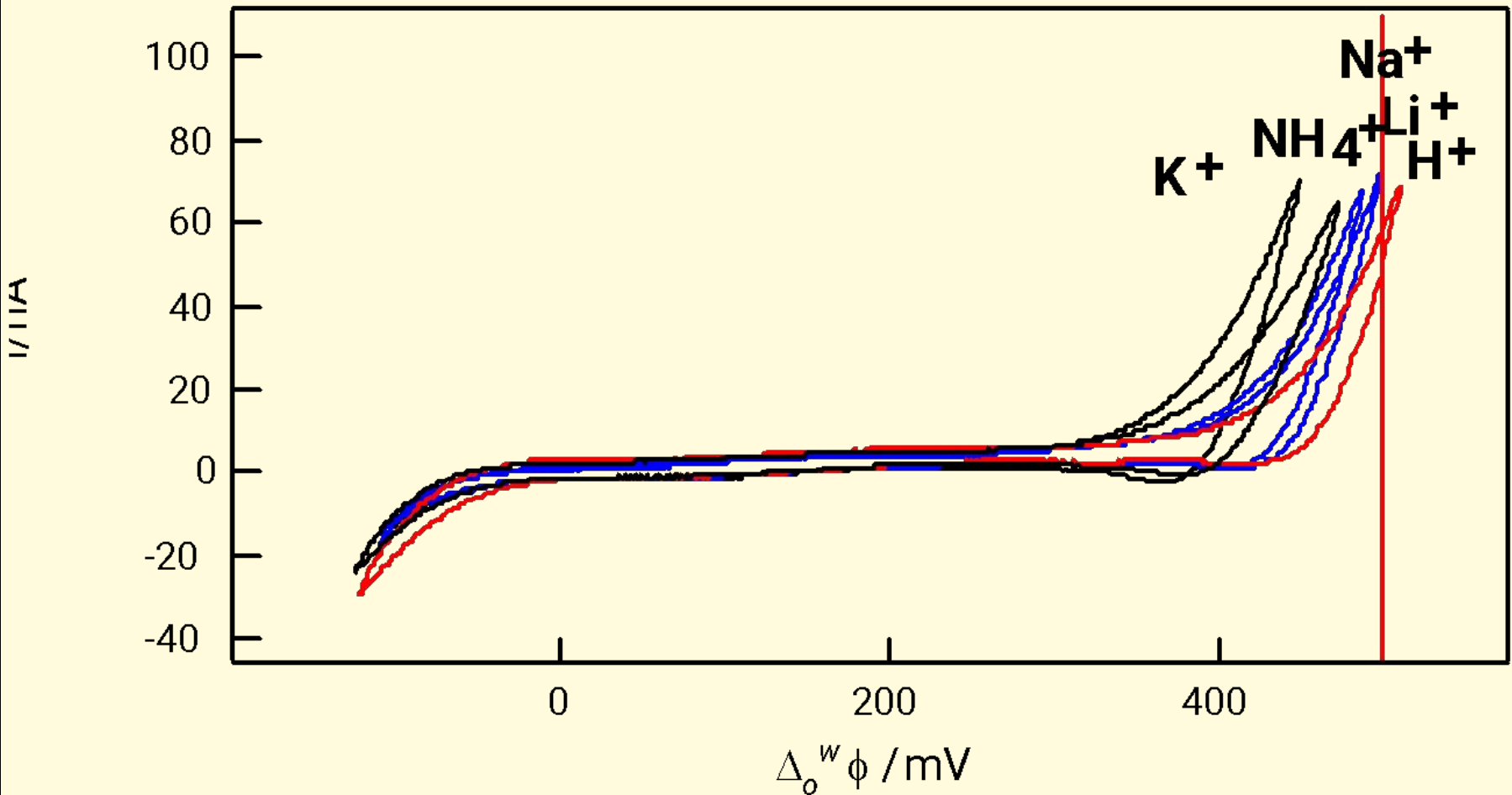
*

Choline transfer



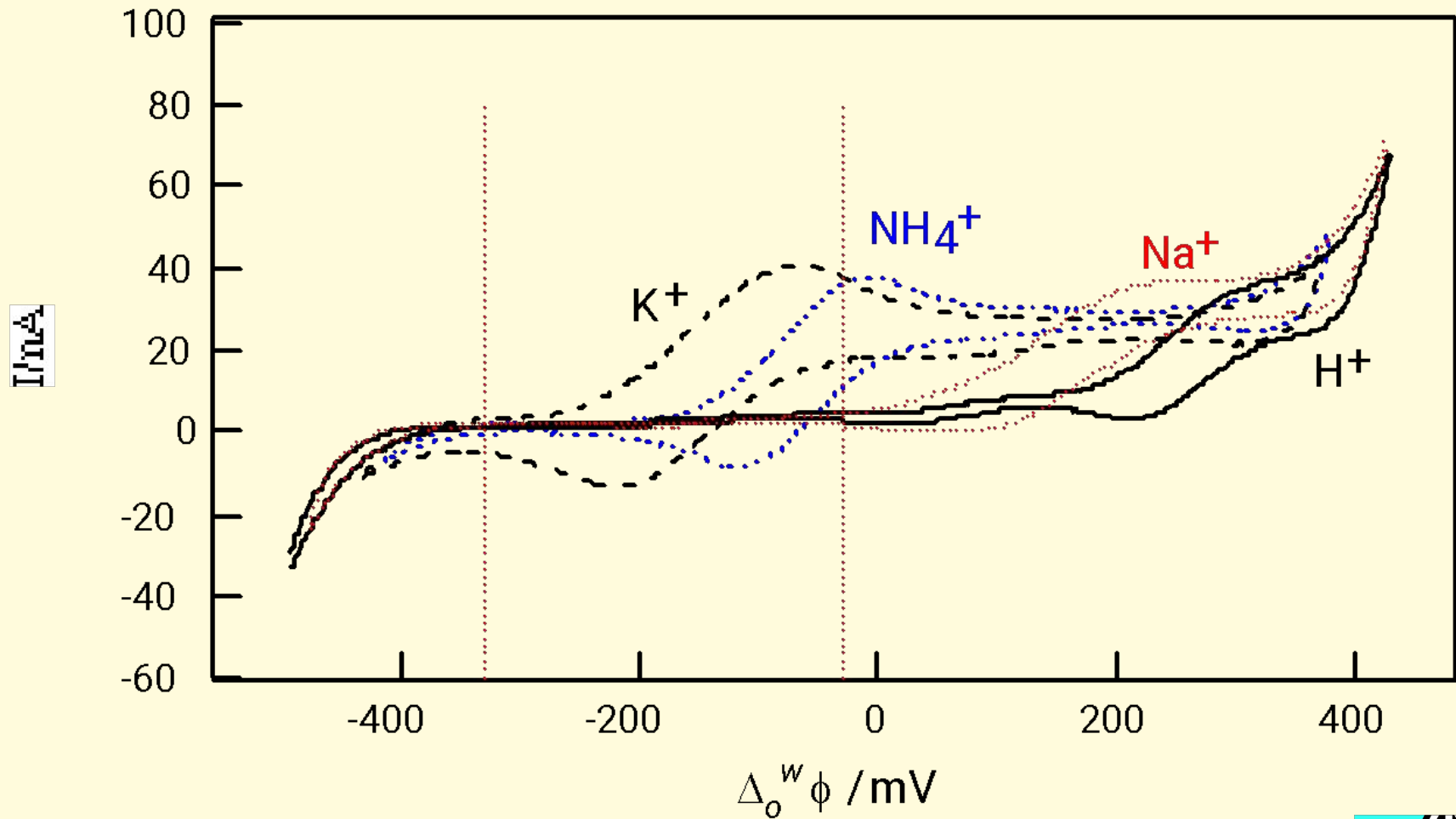
*

Alkali transfer at an ionode



*

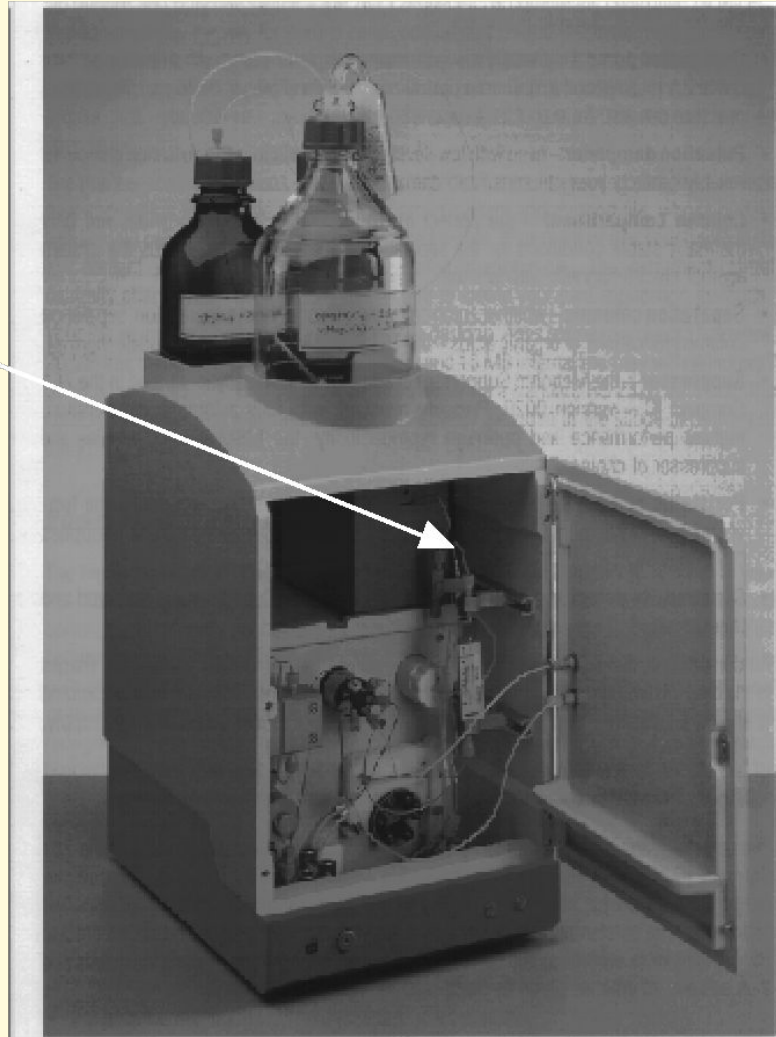
Assisted ion transfer



*

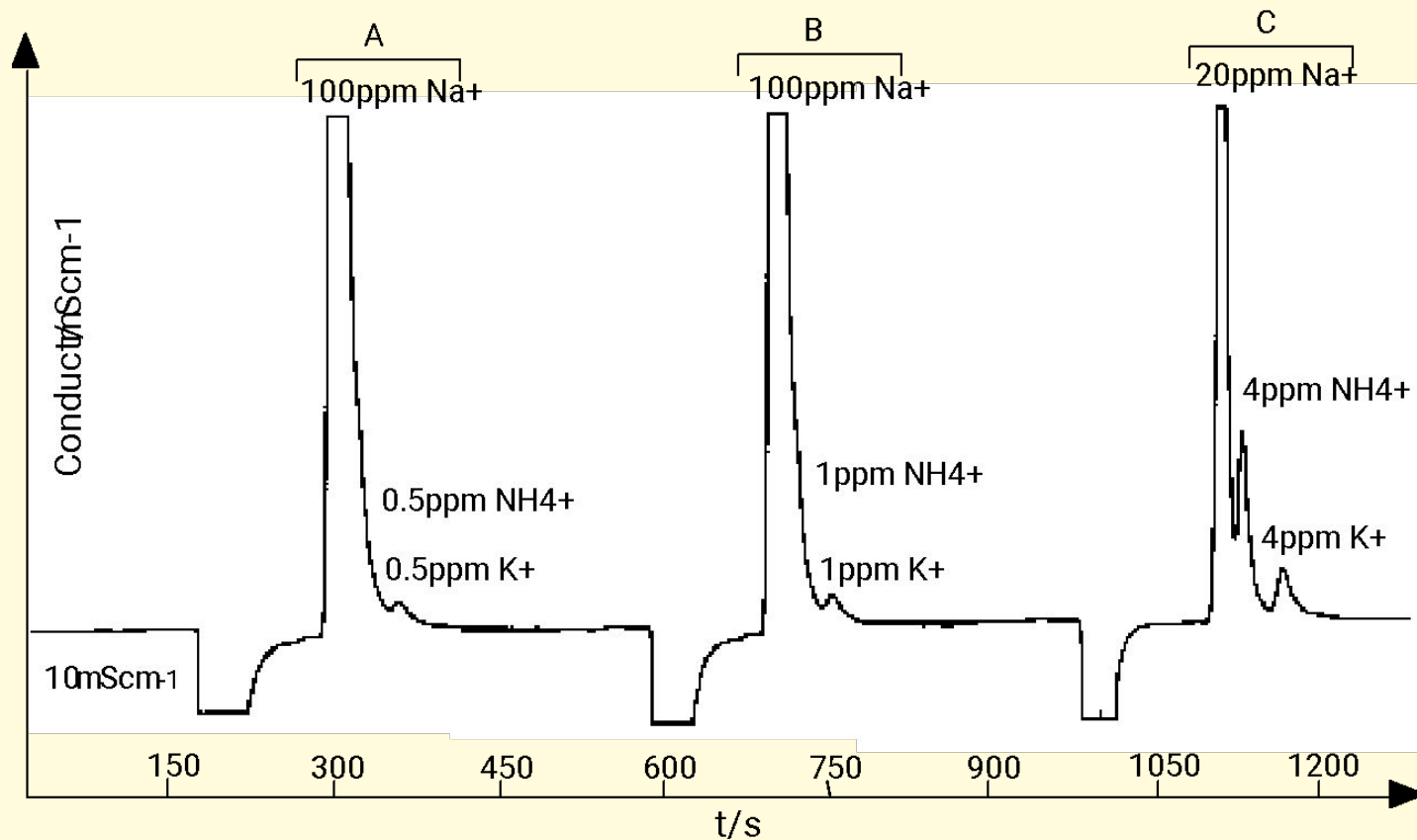
Ion chromatography

Ion detector



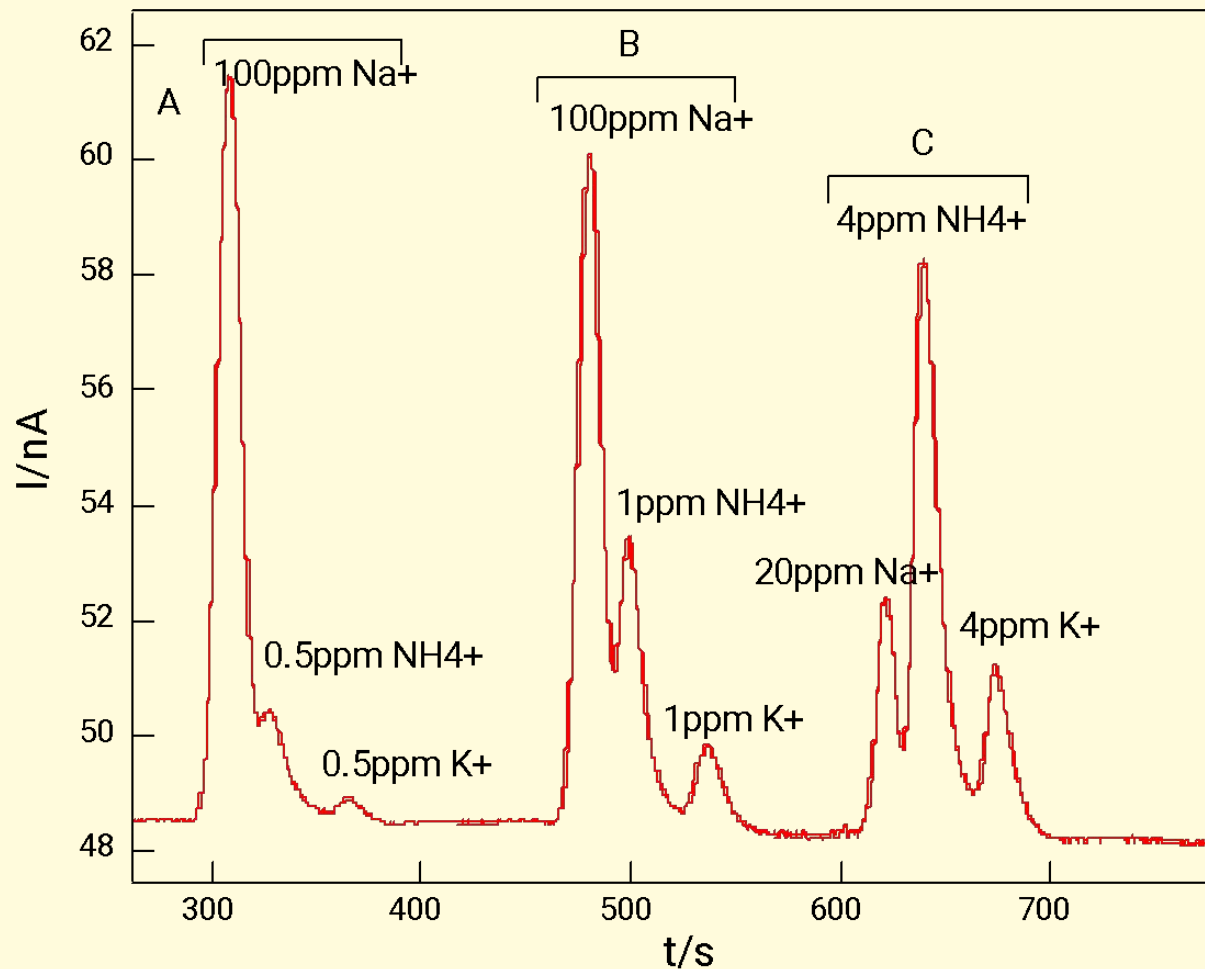
*

Conductometric ammonium detection



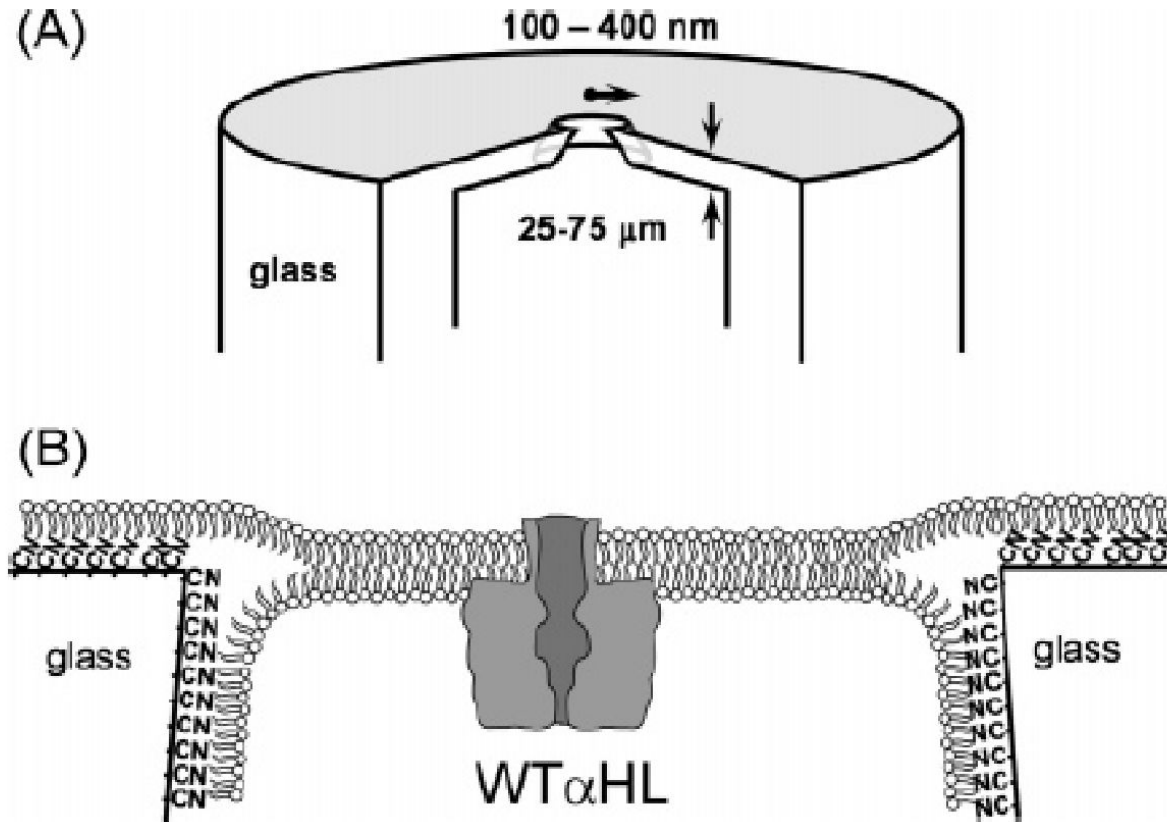
*

Amperometric Ammonium detection

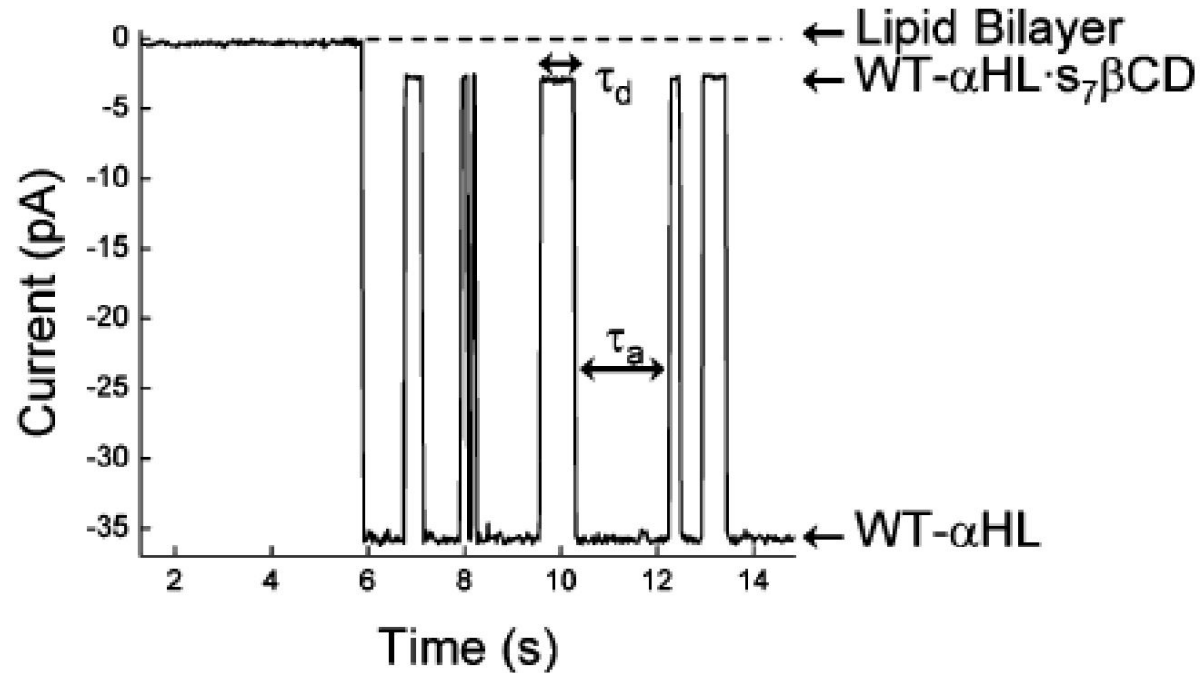


*

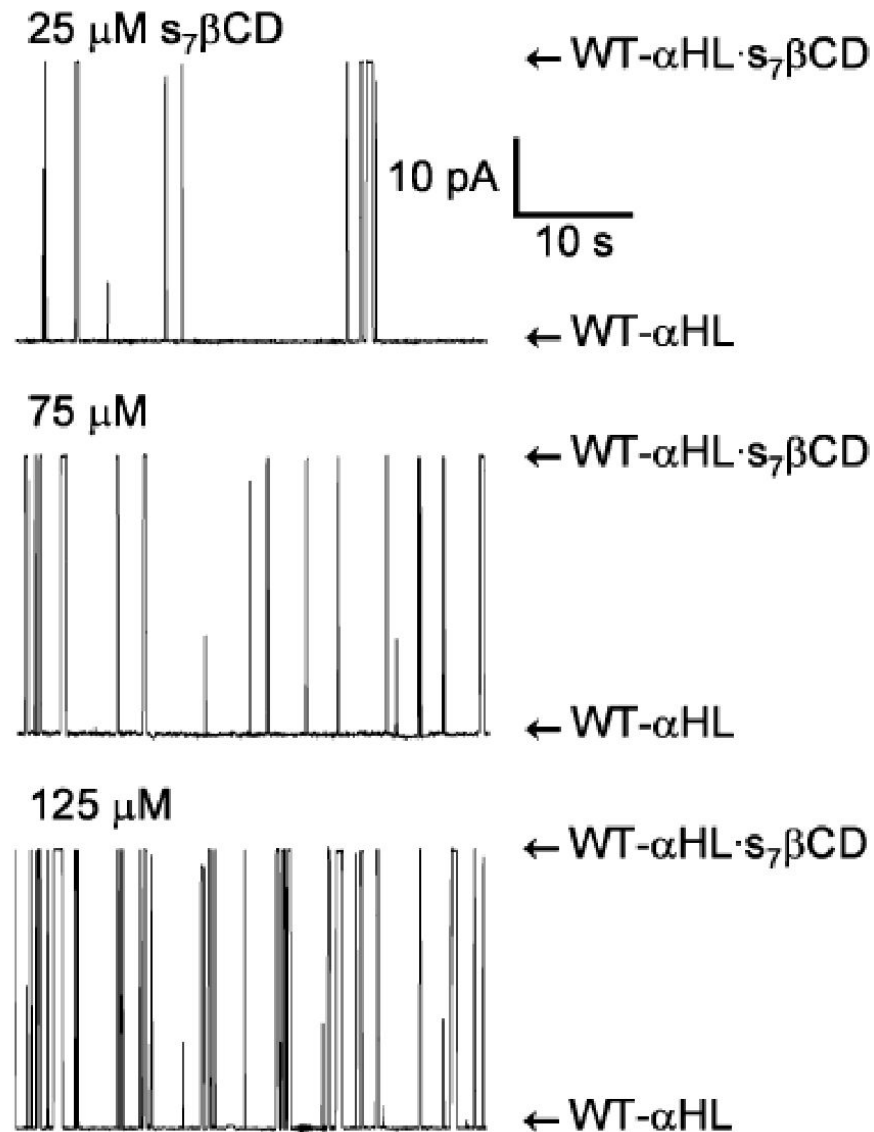
Детекция единичной молекулы



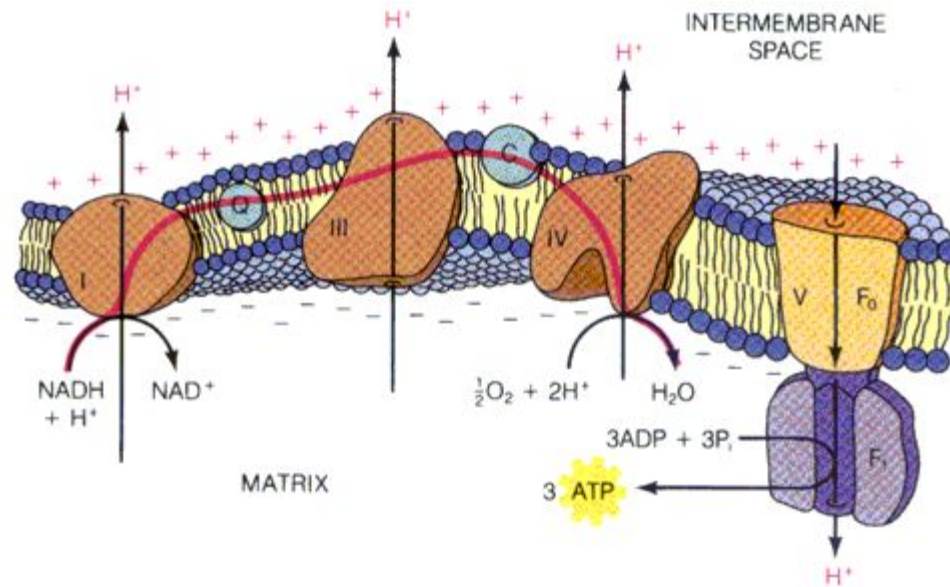
Детекция единичной молекулы



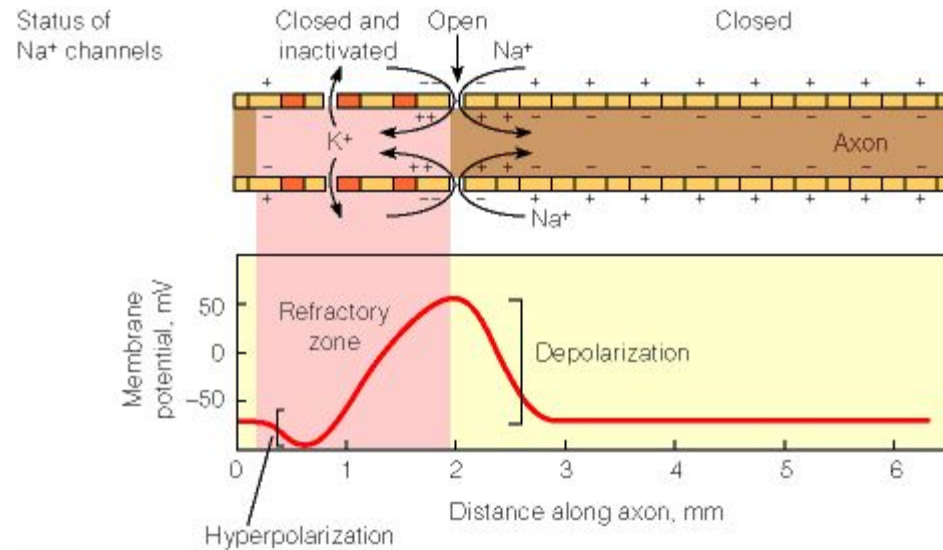
Детекция единичной молекулы



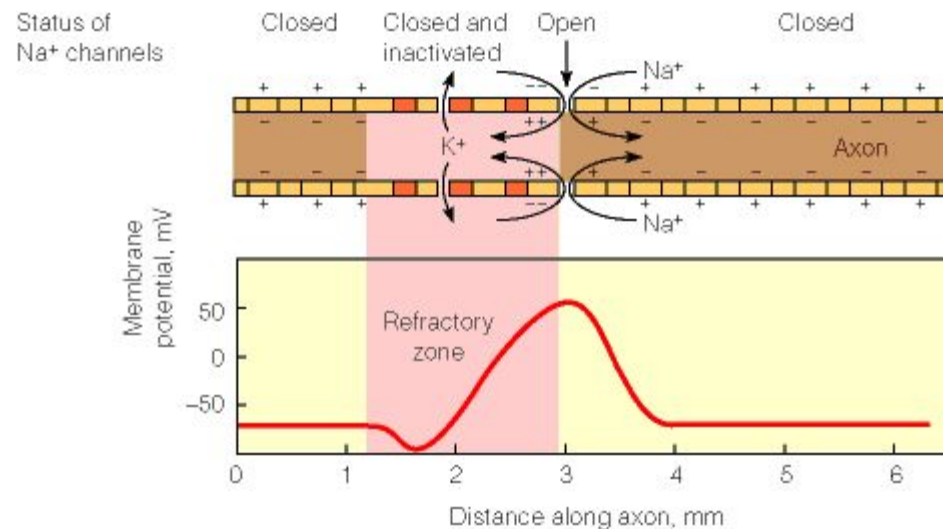
Хемиосмотическая теория



Передача нервного импульса



(a) Time = 0



(b) Time = 1 ms